

Г.О. Сіренко¹, О.В. Кузишин¹, О.Г. Сіренко², Л.Я. Мідак¹, Л.М. Солтис¹

Методи оцінок впливу факторів на функції відгуку та процедури відсіювання параметрів оптимізації при вирішенні багатопараметричних завдань у матеріалознавстві

*1Прикарпатський національний університет імені Василя Стефаника,
вул. Шевченка, 57, м. Івано-Франківськ, 76025, Україна
2Національний ботанічний сад ім. М.М. Гришка Національної Академії Наук України,
вул. Тімірязєвська, 1, Київ, 01014, Україна*

У роботі на мікромоделі «чорної скриньки» досліджується уявний процес покриття шорсткої поверхні підкладки складним вихідним складом речовин. Показано залежність складу покриття, висоти виступу мікронерівності та його діаметру над середньою поверхнею покриття, бонітету, показної площі та віку мікронерівностей від експозиції та стрімкості схилу, висоти над підкладкою та типу ансамблів мікронерівностей покриття. За допомогою теорії графів складено мажорантні ряди функцій відгуку, що дозволило зменшити їх кількість при вирішенні оптимізаційного завдання.

Ключові слова: мікромоделі, макромоделі, покриття, підкладка, шорсткість поверхні, мікронерівність, кореляція, граф, мажорантний ряд.

Стаття поступила до редакції 20.01.2009; прийнята до друку 15.03.2009.

Вступ

Розглянемо уявний процес покриття шорсткої поверхні підкладки, наприклад, вуглецевих волокон $\text{Cu}^0 + \text{Cu}_2\text{O}$ з розчину $\text{CuSO}_4 + \text{H}_2\text{SO}_4$ при додаванні Zn^0 [1]; вуглецевих волокон піровуглецем з газової фази CH_4 при $800\text{-}1400^\circ\text{C}$ [2]; вирощуванням ниткових кристалів TiO_2 , Si_3N_4 , AlN на твердих поверхнях з газової фази, осадження їх з аерозолу або суспензії в розчині, методами наплення або електрофорезом (процес віскеризації) [3]; осадження фулеритних плівок C_{60} на поверхні підкладок Si або GaAs методом термічного випаровування у вакуумі [4]; хімічною обробкою електролітом $\text{HF} + \text{H}_2\text{O} + \text{HCl} + \text{C}_2\text{H}_5\text{OH}$ монокристалічного Si , легovanого B , для отримання поверхні у вигляді поруватого кремнію [5] тощо. Сам процес і характеристики покриття визначаються багатьма параметрами. Морфологія поверхні покриття є анізотропною шорсткою [4,5], яку можна моделювати випадковим полем. Товщини покриття на підкладках коливаються в межах $100\text{-}2000$ нм [4,5]. Осаджені плівки, як правило, не є однорідні: окрім основної речовини, осаджуються інші і т. ін.

Мета роботи полягала у дослідженні уявного процесу осадження речовини на шорстку поверхню підкладки і утворення покриття зі змішаним складом речовин і шорсткою поверхнею з метою пошуку методів оцінки впливу факторів на функції відгуку, які характеризують властивості покриття, та процедури відсіювання параметрів оптимізації

(функцій цілі) при вирішенні багатопараметричних завдань.

I. Експериментальна частина

1.1. Об'єкт дослідження

1. Фізичною макромоделлю мікрооб'єкта (покриття) дослідження була поверхня [6,7]. Модель характеризувалась функціями відгуку (цілі) y_1, \dots, y_7 , які залежали від факторів x_1, \dots, x_4 . За принципом аналогії були означені функції відгуку і фактори для мікрооб'єкту (покриття).

2. Розглянемо математичну модель експерименту у вигляді «чорної скриньки» [8] експериментального об'єкта дослідження (рис. 1). На рис. 1: \mathbf{X} [x_1, x_2, x_3, x_4] – матриця контрольованих та керованих факторів (вхідні змінні), зміна яких відбивається на функції відгуку \mathbf{Y} [$y_1, y_2, y_3, y_4, y_5, y_6, y_7$]; \mathbf{K} [k_1, k_2, \dots, k_m] – матриця некерованих, але контрольованих змінних; \mathbf{Z} [z_1, z_2, \dots, z_n] – матриця неконтрольованих та некерованих змінних (частіше \mathbf{K} і \mathbf{Z} впливають на \mathbf{Y} випадковим чином).

1.2. Піддавали статистичній обробці за [8-22] такі показники покриття на шорсткій поверхні:

а) функції відгуку:

y_1 – склад покриття (відсоток основної речовини), [%]: від 2 до 70 %;

y_2 – висота виступу мікронерівності над середньою площиною шорсткої поверхні [нм]: від 5 до 28 нм;

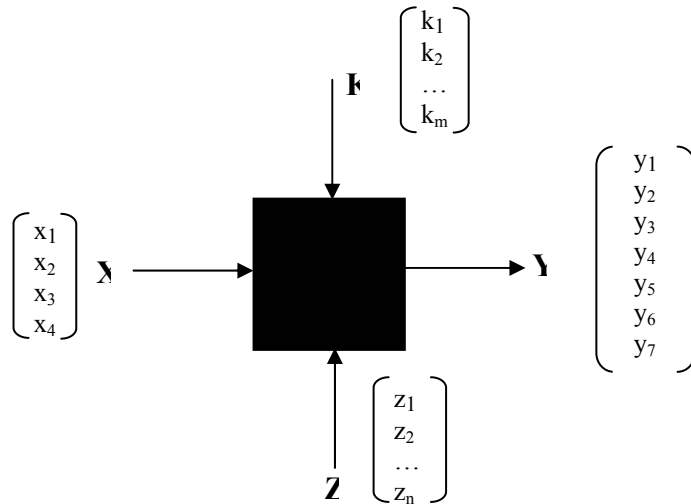


Рис. 1. Математична модель експерименту у вигляді «чорної скриньки»:

X – матриця входних змінних; Y – матриця функцій відгуку; K ,
 Z – матриці збурюючих [контрольованих, некерованих(K) та неконтрольованих, некерованих (Z)] змінних

Таблиця 1

Результати розрахунків вибірових числових та групових характеристик функцій відгуку y_i та факторів x_k

Функція	y_1	y_2	y_3	y_4	y_5	y_6	y_7	x_1	x_2	x_3	x_4
\bar{x} [од.]	9,139	19,13	29,582	3,983	7,069	0,579	121,06	4,963	27,141	1304,5	2,136
S^2 [од. ²]	147,76	18,84	58,37	0,766	87,79	0,011	1490,2	4,22	43,85	17432,7	0,208
S [од.]	12,156	4,34	7,64	0,875	9,369	0,105	38,603	2,054	6,622	132,03	0,456
$\gamma = \frac{S}{\bar{x}}, \%$	133,0	22,7	25,8	22,0	132,5	18,2	31,9	41,4	24,4	10,1	21,4
$\frac{S^2}{\bar{x}},$ [од.]	16,17	0,99	1,97	0,19	12,42	0,02	12,31	0,85	1,62	13,36	0,098
m_2 [од. ²]	147,5	18,73	58,01	0,758	87,63	0,011	$1,488 \cdot 10^3$	4,213	43,77	$17,4 \cdot 10^3$	0,208
m_3 [од. ³]	4571	-34,91	-216,2	-0,150	$3,51 \cdot 10^3$	-0,001	$-3,99 \cdot 10^4$	-3,243	3,893	$-8,9 \cdot 10^5$	0,059
m_4 [од. ⁴]	$22,9 \cdot 10^4$	1027	$10,3 \cdot 10^3$	1,111	$24,5 \cdot 10^4$	0,001	$62,98 \cdot 10^5$	37,80	$8,73 \cdot 10^3$	$13,35 \cdot 10^8$	0,192
as	2,552	-0,431	-0,489	-0,227	4,280	-0,513	-0,695	-0,375	0,013	-0,388	0,622
S_{as}	0,102	0,188	0,190	0,238	0,102	0,102	0,102	0,102	0,102	0,102	0,102
$3S_{as}$	0,305	0,565	0,570	0,714	0,305	0,305	0,305	0,305	0,305	0,305	0,305
ex	7,529	-0,071	0,061	-1,068	28,84	0,183	-0,154	-0,870	1,554	1,407	1,435
S_{ex}	0,203	0,370	0,373	0,462	0,203	0,203	0,203	0,203	0,203	0,203	0,203
$5S_{ex}$	1,013	1,850	1,866	2,309	1,013	1,013	1,013	1,013	1,013	1,013	1,013
ξ_1	0,04	0,44	0,39	1,05	0,02	0,20	0,15	0,27	7,57	0,26	0,16
ξ_2	0,12	1,31	1,17	3,14	0,07	0,60	0,44	0,81	22,7	0,79	0,49
ξ_3	0,03	5,23	6,13	0,43	0,01	1,11	1,32	0,23	0,13	0,14	0,14
ξ_4	0,13	26,1	30,7	2,16	0,04	5,53	6,58	1,16	0,65	0,72	0,71

u_3 – діаметр мікронерівності в середній площині шорсткої поверхні [нм]: від 8 до 44 нм;

u_4 – бонітет (продуктивність процесу осадження за середнім діаметром і середньою висотою мікронерівностей на показній площі): 1; 2; 3; 4; 5 – клас поверхні покриття (клас 1 – поверхня покриття уявляє собою сукупність максимального середнього діаметра та максимальної середньої висоти мікронерівностей; ...; клас 5 – поверхня покриття уявляє собою сукупність мінімального середнього діаметра та мінімальної середньої висоти мікронерівностей);

u_5 – показна площа покриття [мм²]: від 0,2 до 97 мм²;

u_6 – повнота (щільність) покриття [оцінка]: 0,2; 0,3; 0,4; 0,5; 0,6; 0,7; 0,8;

u_7 – вік мікронерівностей покриття (час від початку процесу осадження) [хв.]: від 15 до 200 хв.;

б) вхідні фактори:

x_1 – експозиція схилу мікронерівності, яка визначалась у цифрах від нульового напрямку орієнтації системи координат на поверхні покриття за напрямком годинникової стрілки: 1 – 0 (360) град.;

2 – 45 град.; 3 – 90 град.; 4 – 135 град.; 5 – 180 град.; 6 – 225 град.; 7 – 270 град.; 8 – 315 град.;

x_2 – стрімкість (крутизна) схилу мікронерівності [град.]: від 5 до 60 град.;

x_3 – висота мікронерівності над підкладкою (товщина покриття) [нм]: від 700 до 1915 нм;

x_4 – тип ансамблю мікронерівностей [оцінка]: 1; 2; 3; 4.

1.3. Обсяг виборки (число варіантів)

становив: N = 574 (за u_1 ; u_5 ; u_6 ; u_7 ; x_1 , x_2 ; x_3 ; x_4); N = 164 (за u_2); N = 161 (за u_3); N = 101 (за u_4).

Статистичний аналіз виконаний за [6-22]. Розраховували такі числові та групові статистичні характеристики виборки: середнє арифметичне \bar{x} [од.]; дисперсію S^2 [од.²]; середнє квадратичне відхилення S [од.]; коефіцієнт варіації γ [%]; вибірковий показник ступеня агрегації розподілу випадкових величин $u_i \sim x_k$ як відношення S^2/\bar{x} [од.]; початкові моменти k-порядку: h_1 [од.], h_2 [од.²], h_3 [од.³], h_4 [од.⁴]; центральні моменти k-порядку: m_2 [од.²], m_3 [од.³], m_4 [од.⁴];

Таблиця 2

Коефіцієнти кореляції зв'язків $u_i \sim u_j$ та $u_i \sim x_k$ і перевірка нульової гіпотези $H_0: \rho = 0$ за критичним значенням $r_{кр.}$, функцією перетворення Фішера Z_T та критерієм Ст'юдента t_T для рівнів значущості $\alpha = 0,01$ та $\alpha = 0,05$

R	N	r	$\xi_1(r)$ [$\xi_2(r)$] для α :		Z	$\xi_1(z)$ [$\xi_2(z)$] для α :		t _p	$\xi_1(t)$ [$\xi_2(t)$] для α :	
			0,05	0,01		0,05	0,01		0,05	0,01
			$x_1 \sim x_2$	574		0,0756	(2,58)		(3,31)	0,0757
$x_1 \sim x_3$	574	-0,0270	(7,22)	(9,26)	0,0270	(3,04)	(4,0)	0,6462	(3,06)	(4,05)
$x_1 \sim x_4$	574	-0,0207	(9,42)	(12,08)	0,0207	(3,96)	(5,22)	0,4953	(4,0)	(5,28)
$x_2 \sim x_3$	574	0,1473	(1,32)	(1,70)	0,1484	1,81	1,37	3,6010	1,82	1,38
$x_2 \sim x_4$	574	-0,0387	(5,04)	(6,46)	0,0387	(2,12)	(2,79)	0,9270	(2,14)	(2,82)
$x_3 \sim x_4$	574	-0,1428	(1,37)	(1,75)	0,1438	1,75	1,33	3,4864	1,76	1,33
$u_1 \sim x_1$	574	0,02851	(6,84)	(8,77)	0,0285	(2,88)	(3,79)	0,6822	(2,90)	(3,84)
$u_1 \sim x_2$	574	-0,0274	(7,12)	(9,12)	0,0274	(2,99)	(3,94)	0,6558	(3,02)	(3,99)
$u_1 \sim x_3$	574	0,1146	(1,70)	(2,18)	0,1151	1,40	1,07	2,7773	1,40	1,06
$u_1 \sim x_4$	574	-0,2129	1,09	(1,17)	0,2162	2,64	2,00	5,3336	2,69	2,04
$u_2 \sim x_1$	164	-0,0072	(27,1)	(34,7)	0,0072	(21,5)	(28,2)	0,0917	(21,6)	(28,5)
$u_2 \sim x_2$	164	-0,1594	(1,22)	(1,57)	0,1608	1,04	(1,26)	2,0817	1,05	(1,26)
$u_2 \sim x_3$	164	-0,1162	(1,68)	(2,15)	0,1167	(1,32)	(1,74)	1,4992	(1,32)	(1,75)
$u_2 \sim x_4$	164	0,3509	1,80	1,40	0,3665	2,37	1,80	5,0934	2,57	1,95
$u_3 \sim x_1$	161	0,0416	(4,69)	(6,01)	0,0416	(3,75)	(4,94)	0,5255	(3,77)	(4,98)
$u_3 \sim x_2$	161	-0,1421	(1,37)	(1,76)	0,1431	(1,09)	(1,44)	1,8287	(1,08)	(1,43)
$u_3 \sim x_3$	161	-0,2509	1,29	1,00	0,2564	1,65	1,25	3,3763	1,71	1,29
$u_3 \sim x_4$	161	-0,0465	(4,19)	(5,38)	0,0466	(3,35)	(4,41)	0,5880	(3,37)	(4,45)
$u_4 \sim x_1$	101	0,1004	(1,94)	(2,49)	0,1007	(1,97)	(2,59)	1,0091	(1,96)	(2,59)
$u_4 \sim x_2$	101	0,1337	(1,46)	(1,87)	0,1345	(1,47)	(1,94)	1,3545	(1,46)	(1,93)
$u_4 \sim x_3$	101	-0,0240	(8,13)	(10,4)	0,0241	(8,22)	(10,8)	0,2389	(8,29)	(10,95)
$u_4 \sim x_4$	101	-0,2856	1,47	1,14	0,2937	1,48	1,13	3,0941	1,56	1,18
$u_5 \sim x_1$	574	0,0272	(7,17)	(9,19)	0,0272	(3,01)	(3,97)	0,6505	(3,04)	(4,02)
$u_5 \sim x_2$	574	0,0760	(2,57)	(3,29)	0,0761	(1,08)	(1,42)	1,8272	(1,08)	(1,43)
$u_5 \sim x_3$	574	0,0345	(5,65)	(7,25)	0,0345	(2,38)	(3,13)	0,8259	(2,40)	(3,17)
$u_5 \sim x_4$	574	0,0663	(2,94)	(3,77)	0,0664	(1,24)	(1,63)	1,5917	(1,24)	(1,64)
$u_6 \sim x_1$	574	0,0627	(3,11)	(3,99)	0,0627	(1,31)	(1,72)	1,5045	(1,32)	(1,74)

R	N	r	$\xi_1(r) [\xi_2(r)]$ для α :		Z	$\xi_1(z) [\xi_2(z)]$ для α :		t _p	$\xi_1(t) [\xi_2(t)]$ для α :	
			0,05	0,01		0,05	0,01		0,05	0,01
			$y_6 \sim x_2$	574		0,0455	(4,29)		(5,50)	0,0455
$y_6 \sim x_3$	574	-0,2190	1,12	(1,14)	0,2226	2,71	2,06	5,5015	2,78	2,10
$y_6 \sim x_4$	574	0,1227	(1,59)	(2,04)	0,1233	1,50	1,14	2,9794	1,50	1,14
$y_7 \sim x_1$	574	0,0526	(3,71)	(4,75)	0,0527	(1,56)	(2,05)	1,2626	(1,57)	(2,07)
$y_7 \sim x_2$	574	0,0706	(2,76)	(3,54)	0,0707	(1,16)	(1,53)	1,6971	(1,17)	(1,54)
$y_7 \sim x_3$	574	0,1958	1,004	(1,28)	0,1983	2,42	1,84	4,8695	2,46	1,86
$y_7 \sim x_4$	574	-0,0649	(3,00)	(3,85)	0,0650	(1,26)	(1,66)	1,5589	(1,27)	(1,68)
$y_1 \sim y_2$	164	-0,2401	1,23	(1,04)	0,2449	1,59	1,21	3,2429	1,64	1,24
$y_1 \sim y_3$	161	0,0578	(3,37)	(4,33)	0,0578	(2,70)	(3,55)	0,7309	(2,71)	(3,58)
$y_1 \sim y_4$	101	0,3203	1,64	1,28	0,3320	1,68	1,27	3,5513	1,79	1,36
$y_1 \sim y_5$	574	-0,0518	(3,76)	(4,83)	0,0519	(1,58)	(2,08)	1,2433	(1,59)	(2,10)
$y_1 \sim y_6$	574	-0,1735	(1,12)	(1,44)	0,1753	2,14	1,62	4,2783	2,16	1,64
$y_1 \sim y_7$	574	0,0716	(2,72)	(3,49)	0,0717	(1,14)	(1,51)	1,7213	(1,15)	(1,52)
$y_2 \sim y_3$	161	0,5157	2,65	2,06	0,5705	3,66	2,78	8,8587	4,47	3,39
$y_2 \sim y_4$	101	-0,5837	2,99	2,34	0,6681	3,37	2,56	8,8090	4,45	3,37
$y_2 \sim y_5$	164	0,1473	(1,32)	(1,70)	0,1483	(1,04)	(1,37)	1,9164	(1,03)	(1,37)
$y_2 \sim y_6$	164	0,3799	1,95	1,52	0,3999	2,59	1,97	5,6509	2,85	2,16
$y_2 \sim y_7$	164	0,2976	1,53	1,19	0,3069	1,99	1,51	4,1559	2,10	1,59
$y_3 \sim y_4$	101	-0,2706	1,39	1,08	0,2775	1,40	1,07	2,9052	1,47	1,11
$y_3 \sim y_5$	161	0,1617	(1,21)	(1,55)	0,1631	1,05	(1,26)	2,0937	1,06	(1,25)
$y_3 \sim y_6$	161	0,2466	1,27	(1,01)	0,2518	1,62	1,23	3,3109	1,67	1,27
$y_3 \sim y_7$	161	0,6194	3,18	2,48	0,7240	4,64	3,53	12,6721	6,40	4,84
$y_4 \sim y_5$	101	-0,3174	1,63	1,27	0,3288	1,66	1,26	3,5119	1,77	1,34
$y_4 \sim y_6$	101	-0,3014	1,55	1,21	0,3111	1,57	1,19	3,2985	1,67	1,26
$y_4 \sim y_7$	101	-0,1075	(1,81)	(2,33)	0,1079	(1,84)	(2,42)	1,0821	(1,83)	(2,42)
$y_5 \sim y_6$	574	0,1162	(1,68)	(2,15)	0,1167	1,42	1,08	2,8171	1,42	1,08
$y_5 \sim y_7$	574	0,1004	(1,94)	(2,49)	0,1007	1,23	(1,07)	2,4257	1,23	(1,08)
$y_6 \sim y_7$	574	-0,1471	(1,33)	(1,70)	0,1481	1,81	1,37	3,5959	1,82	1,37

показник асиметрії a_s та його середнє квадратичне відхилення S_{as} ($3S_{as}$); показник ексцесу e_x та його середнє квадратичне відхилення S_{ex} ($5S_{ex}$).

II. Результати та обговорення

2.1. Кореляційний та регресійний аналізи: процедура та методи дослідження

1. Знайдемо лінійні та нелінійні зв'язки між $[Y] \sim [X]$ та всередині цих матриць $[Y_i] \sim [X_i]$, $[Y_k] \sim [X_m]$ методами кореляційного та регресійного аналізів [9, 13, 19]. Результати розрахунків вибіркових числових та групових характеристик функції відгуку y_i та входних параметрів (факторів) x_k зведені в табл. 1.

2. Розглядаючи y_i та x_k як неперервні випадкові величини, давали оцінку ступеня підпорядкування (відповідності) вибіркового розподілу y_1, \dots, y_7 та x_1, \dots, x_4 нормальному розподілу за законом Гаусса за ступенями відмінності показників асиметрії та

ексцесу від відповідних їм середніх квадратичних відхилень [14]:

$$\xi_1 = \frac{S_{as}}{|as|}; \xi_2 = \frac{3S_{as}}{|as|}; \xi_3 = \frac{S_{ex}}{|ex|}; \xi_4 = \frac{5S_{ex}}{|ex|} \quad (1)$$

за умовою, що при $\xi_1, \xi_2, \xi_3, \xi_4 \geq 1$, вибіркові результати не протирічать теоретичному нормальному закону розподілу Гаусса. Обернені величини співвідношення (1) при $\xi'_1, \xi'_2, \xi'_3, \xi'_4 > 1$ дають оцінку ступеня невідповідності емпіричного розподілу теоретичному нормальному розподілу Гаусса.

Як видно з табл. 1, при додатковій перевірці за точним критерієм ω^2 можна прийняти, що вибіркові характеристики y_2, y_3, y_4 підпорядковані нормальному закону Гаусса (н.з.р.). Вибіркові характеристики $y_1, y_5, x_1, x_2, x_3, x_4$ – не підпорядковані нормальному закону розподілу, а y_6, y_7 – близькі до н.з.р. Це накладає певні обмеження на висновки щодо оцінок результатів кореляційного аналізу.

Розглядаючи y_i та x_k як дискретні випадкові

величини, за [15, 16, 25, 26] виходили з того, що розпізнавання типів розподілу цих величин може здійснюватися лише за допомогою генерального показника ступеня агрегації – відношення генеральної дисперсії σ^2 до математичного

сподівання (генеральної середньої) μ : $E = \frac{\sigma^2}{\mu}$.

Оцінкою цього генерального показника є вибірковий показник ступеня агрегації:

$$\Psi = \frac{S^2}{\bar{x}} [\text{од.}] \rightarrow E = \frac{\sigma^2}{\mu} [\text{од.}],$$

де S^2 – вибірка дисперсія [од.²].

\bar{x} – вибіркве середнє [од.].

При дійсно випадковому просторовому розподілу величин y_i та x_k , тобто такому, що описується законом Пуассона [15, 16] для дискретних випадкових величин, дисперсія чисельно дорівнює середньому ($\sigma^2 = \mu$) і відповідні вибіркові оцінки

$\xi = \frac{S^2}{\bar{x}} \approx 1$; якщо дисперсія менше середньої ($\sigma^2 < \mu$),

то розподіл рівномірний (регулярний) ($\xi = \frac{S^2}{\bar{x}} < 1$);

якщо дисперсія більше середньої ($\sigma^2 > \mu$), то розподіл

контагіозний (груповий, агрегаційний) ($\xi = \frac{S^2}{\bar{x}} > 1$)

[15, 16, 25, 26].

3. Значущість коефіцієнта кореляції. Ступінь лінійності та нелінійності зв'язку. Вибірковий коефіцієнт кореляції r розраховували за [9,13], який давав оцінку генеральному коефіцієнту кореляції ρ . У табл. 2 приведені результати розрахунків вибіркових коефіцієнтів кореляції зв'язків $y_i \sim y_j, y_i \sim x_k, x_k \sim x_m$. Статистичну значущість ρ (перевірку нульової гіпотези $H_0: \rho = 0$) доводили за t-критерієм Стьюдента [9,13], функцією перетворення Фішера Z_p [9,13] та за допомогою критичного значення $Z_{кр.(\alpha)} = (Z_p \cdot \sigma_Z)$, де $Z_p \{p = 1 - \alpha/2\}$ – квантиль нормованого нормального розподілу Гаусса для ймовірності $p = 1 - \alpha/2$ [9], а σ_Z – середнє квадратичне відхилення розподілу функції Z [9,13], та критичного значення коефіцієнта кореляції $r_{кр.(\alpha)}$ [18] для рівнів значущості $\alpha = 0,01$ і $\alpha = 0,05$ [10, 11, 17-18]. У табл. 2: R – вид кореляційного зв'язку.

Ступінь лінійності ξ_1 (ступінь нелінійності ξ_2) кореляційного зв'язку оцінювали за [13]:

$$\text{за } r_{кр.}: \quad \xi_1(r) = \frac{|r|}{r_{кр.(\alpha)}} \left(\xi_2(r) = \frac{r_{кр.(\alpha)}}{|r|} \right); \quad (2)$$

$$\text{за } Z_p: \quad \xi_1(z) = \frac{|Z|}{(Z_p \cdot \sigma_Z)} \left(\xi_2(z) = \frac{Z_p \cdot \sigma_Z}{|Z|} \right); \quad (3)$$

$$\text{за } t_\alpha: \quad \xi_1(t) = \frac{|t_p|}{t_\alpha} \left(\xi_2(t) = \frac{t_\alpha}{|t_p|} \right). \quad (4)$$

У табл. 2 порівнювали:

- $|r|$ з $r_{кр.} \{ \alpha = 0,01; f \geq 100 \} = 0,250$ та $r_{кр.} \{ \alpha = 0,05; f \geq 100 \} = 0,195$ [18];

- $|Z|$ з $(Z_p \cdot \sigma_Z)$, де $Z_{0,995} = 2,58$ (для $\alpha = 0,01$) та $Z_{0,975} = 1,96$ (для $\alpha = 0,05$) [9];

- $|t_p|$ з $t_{0,01} \{ \alpha/2 = 0,005; f \geq 120 \} = 2,617$ (для $\alpha = 0,01$) та $t_{0,05} \{ \alpha/2 = 0,025; f \geq 120 \} = 1,980$ (для $\alpha = 0,05$) [10, 17];

- $\sigma_Z = 0,04185$ (для $N = 574$); $(Z_{0,995} \cdot \sigma_Z) = 0,1080$ (для $\alpha = 0,01; N = 574$) та $(Z_{0,975} \cdot \sigma_Z) = 0,0820$ (для $\alpha = 0,05; N = 574$);

- $\sigma_Z = 0,07881$ (для $N = 164$); $(Z_{0,995} \cdot \sigma_Z) = 0,2033$ (для $\alpha = 0,01; N = 164$) та $(Z_{0,975} \cdot \sigma_Z) = 0,1545$ (для $\alpha = 0,05; N = 164$);

- $\sigma_Z = 0,07956$ (для $N = 161$); $(Z_{0,995} \cdot \sigma_Z) = 0,2053$ (для $\alpha = 0,01; N = 161$); $(Z_{0,975} \cdot \sigma_Z) = 0,1559$ (для $\alpha = 0,05; N = 161$);

- $\sigma_Z = 0,10102$ (для $N = 101$); $(Z_{0,995} \cdot \sigma_Z) = 0,2606$ (для $\alpha = 0,01; N = 101$); $(Z_{0,975} \cdot \sigma_Z) = 0,1980$ (для $\alpha = 0,05; N = 101$).

У табл. 2 темним шрифтом показані значущі коефіцієнти кореляції (тобто між $y_i \sim y_j, y_i \sim x_k$ або $x_k \sim x_m$ є надійний лінійний зв'язок). У табл. 2 приведені розрахункові значення ступенів рівності (без дужок) та нерівностей (в дужках). У підсумку нульову гіпотезу $H_0: \rho = 0$ (рівності нулю генерального коефіцієнта кореляції – немає лінійного зв'язку) приймали («+»), або відкидали («-») $H_1: \rho \neq 0$ (нерівність нулю генерального коефіцієнта кореляції – є надійний лінійний зв'язок).

2.2. Вплив вхідних факторів x_k на функції відгуку y_i

Як видно з табл. 2, надійний лінійний зв'язок (значущий коефіцієнт кореляції з $\alpha = 0,01$ і $0,05$) спостерігається між $y_i \sim x_k$ у ряду за зростанням ступеня лінійності:

а) за абсолютною величиною значущого коефіцієнта кореляції $|r_{x,y}|$:

- $(y_i \sim x_k): (y_1 \sim x_3) < (y_6 \sim x_4) < (y_2 \sim x_2) < (y_7 \sim x_3) < (y_1 \sim x_4) < (y_6 \sim x_3) < (y_3 \sim x_3) < (y_4 \sim x_4) < (y_2 \sim x_4);$

- $|r_{x,y}|: |r_{31}|=11,5\% < |r_{46}|=12,3\% < |r_{22}|=15,9\% < |r_{37}|=19,6\% < |r_{41}|=21,3\% < |r_{36}|=21,9\% < |r_{33}|=25,1\% < |r_{44}|=28,6\% < |r_{42}|=35,1\%;$

б) за ступенем лінійності за критичним коефіцієнтом кореляції $|r_{кр.}|$ з рівнем значущості α :

$\alpha = 0,05$

- $(y_i \sim x_k): (y_7 \sim x_3) < (y_1 \sim x_4) \leq (y_6 \sim x_3) < (y_3 \sim x_3) < (y_4 \sim x_4) < (y_2 \sim x_4);$

- $\xi_1(r_{xy}): \xi_1(r_{37})=1,004 < \xi_1(r_{41})=1,09 \leq \xi_1(r_{36})=1,12 < \xi_1(r_{33})=1,29 < \xi_1(r_{44})=1,47 < \xi_1(r_{42})=1,80;$

$\alpha = 0,01$

- $(y_i \sim x_k): (y_3 \sim x_3) < (y_4 \sim x_4) < (y_2 \sim x_4);$

- $\xi_1(r_{xy}): \xi_1(r_{33})=1,00 < \xi_1(r_{44})=1,14 < \xi_1(r_{42})=1,40;$

в) за ступенем лінійності за функцією перетворення Фішера $|z|$ з рівнем значущості α :

$\alpha = 0,05$

- $(y_i \sim x_k): (y_2 \sim x_2) < (y_1 \sim x_3) < (y_4 \sim x_4) < (y_6 \sim x_4) < (y_3 \sim x_3) < (y_2 \sim x_4) < (y_7 \sim x_3) < (y_1 \sim x_4) < (y_6 \sim x_3);$

- $\xi_1(z_{xy}): \xi_1(z_{22})=1,04 < \xi_1(z_{31})=1,40 < \xi_1(z_{44})=1,48 \leq \xi_1(z_{46})=1,50 < \xi_1(z_{33})=1,65 < \xi_1(z_{42})=2,37 < \xi_1(z_{37})=2,42 < \xi_1(z_{41})=2,64 < \xi_1(z_{36})=2,71;$

$\alpha = 0,01$

- $(y_i \sim x_k): (y_1 \sim x_3) < (y_4 \sim x_4) \leq (y_6 \sim x_4) < (y_3 \sim x_3) < (y_2 \sim x_4) < (y_7 \sim x_3) < (y_1 \sim x_4) < (y_6 \sim x_3);$
 $\xi_1(z_{xy}): \xi_1(z_{31})=1,07 < \xi_1(z_{44})=1,13 \leq \xi_1(z_{46})=1,14 < \xi_1(z_{33})=1,25 < \xi_1(z_{42})=1,80 < \xi_1(z_{37})=1,84 < \xi_1(z_{41})=2,00 < \xi_1(z_{36})=2,06;$

г) за ступенем лінійності за t-критерієм Стьюдента з рівнем значущості α :
 $\alpha = 0,05$

- $(y_i \sim x_k): (y_2 \sim x_2) < (y_1 \sim x_3) < (y_6 \sim x_4) < (y_4 \sim x_4) < (y_3 \sim x_3) < (y_7 \sim x_3) < (y_2 \sim x_4) < (y_1 \sim x_4) < (y_6 \sim x_3);$
 $\xi_1(t_{xy}): \xi_1(t_{22})=1,05 < \xi_1(t_{31})=1,40 < \xi_1(t_{46})=1,50 < \xi_1(t_{44})=1,56 < \xi_1(t_{33})=1,71 < \xi_1(t_{73})=2,46 < \xi_1(t_{42})=2,57 < \xi_1(t_{41})=2,69 < \xi_1(t_{36})=2,78;$
 $\alpha = 0,01$

- $(y_i \sim x_k): (y_1 \sim x_3) < (y_6 \sim x_4) \leq (y_4 \sim x_4) < (y_3 \sim x_3) < (y_7 \sim x_3) < (y_2 \sim x_4) < (y_1 \sim x_4) < (y_6 \sim x_3);$
 $\xi_1(t_{xy}): \xi_1(t_{31})=1,06 < \xi_1(t_{46})=1,14 \leq \xi_1(t_{44})=1,18 < \xi_1(t_{33})=1,29 < \xi_1(t_{73})=1,86 < \xi_1(t_{42})=1,95 < \xi_1(t_{41})=2,04 < \xi_1(t_{36})=2,10.$

При цьому, із зростанням x_3 зростає y_1 та збільшується y_7 , а із зростанням x_4 зростає y_2 та збільшується y_6 , про що свідчать позитивні значення коефіцієнтів кореляції для зв'язків $y_1 \sim x_3, y_2 \sim x_4, y_6 \sim x_4, y_7 \sim x_3$, і, навпаки, при зростанні x_2 зменшується y_2 , із зростанням x_3 зменшуються y_3 та y_6 , а із зростанням x_4 зменшуються y_1 та y_4 , про що свідчать негативні значення коефіцієнтів кореляції для зв'язків $y_2 \sim x_2, y_3 \sim x_3, y_6 \sim x_3, y_1 \sim x_4, y_4 \sim x_4$.

Як видно з табл. 2, нелінійний зв'язок з рівнем значущості $\alpha = 0,01$ і $\alpha = 0,05$ спостерігається між $y_i \sim x_k$ у ряду за зростанням ступеня нелінійності за t-критерієм Стьюдента:

$$(y_1 \sim x_4) \leq (y_2 \sim x_4) \leq (y_7 \sim x_3) < (y_6 \sim x_3) \leq (y_3 \sim x_3) < (y_4 \sim x_4) \leq (y_6 \sim x_4) < (y_1 \sim x_3) < (y_2 \sim x_2) < (y_3 \sim x_2) = (y_5 \sim x_2) < (y_7 \sim x_2) < (y_5 \sim x_4) \leq (y_7 \sim x_4) < (y_6 \sim x_1) \leq (y_2 \sim x_3) \leq (y_4 \sim x_2) < (y_7 \sim x_1) < (y_6 \sim x_2) < (y_4 \sim x_1) < (y_5 \sim x_3) < (y_1 \sim x_1) \leq (y_1 \sim x_2) \leq (y_5 \sim x_1) < (y_3 \sim x_2) < (y_3 \sim x_1) < (y_4 \sim x_3) < (y_2 \sim x_1). \quad (6)$$

За табл. 2 складемо мажорантні ряди впливу вхідних параметрів x_k на функції відгуку y_i :

1) на y_1 (склад покриття):

а) за коефіцієнтом кореляції $|r_{ik}|$ (лінійний вплив)

$$x_k: x_2 \leq x_1 < x_3 < x_4;$$

$$|r_{ik}| : 2,74\% \leq 2,85\% < 11,46\% < 21,29\%;$$

б) за критичними коефіцієнтом кореляції $r_{кр}$.

• за ступенем лінійності $\xi_1(r)$ (лінійний вплив)

за $r_{кр,\alpha}$

$$\alpha = 0,05 \quad x_k: x_2 \leq x_1 < x_3 < x_4; \quad \xi_1(r)_{0,05}: 0,14 \leq 0,15 < 0,59 < 1,09;$$

$$\alpha = 0,01 \quad x_k: x_2 \leq x_1 < x_3 < x_4;$$

$$\xi_1(r)_{0,01}: 0,110 < 0,114 < 0,46 < 0,86;$$

• за ступенем нелінійності $\xi_2(r)$ (нелінійний вплив) за $r_{кр,\alpha}$

$$\alpha = 0,05 \quad x_k: x_4 < x_3 < x_1 < x_2; \quad \xi_2(r)_{0,05}: 0,92 < 1,70 < 6,84 < 7,12;$$

$$\alpha = 0,01 \quad x_k: x_4 < x_3 < x_1 < x_2; \quad \xi_2(r)_{0,01}: 1,17 < 2,18 < 8,77 < 9,12;$$

• за ступенем сумарного впливу $\Sigma[\xi_1(r) + \xi_2(r)]$ (лінійний + нелінійний впливи) за $r_{кр,\alpha}$

$$\alpha = 0,05 \quad x_k: x_4 < x_3 < x_1 < x_2; \quad \Sigma_{0,05}: 2,01 < 2,29 < 6,99 < 7,26;$$

$$\alpha = 0,01 \quad x_k: x_4 < x_3 < x_1 < x_2; \quad \Sigma_{0,01}: 2,03 < 2,64 < 8,88 < 9,23;$$

в) за функцією перетворення Фішера

• за ступенем лінійності $\xi_1(z)$ (лінійний вплив) за z_α

$$\alpha = 0,05 \quad x_k: x_2 < x_1 < x_3 < x_4; \quad \xi_1(z)_{0,05}: 0,33 \leq 0,35 < 1,40 < 2,64;$$

$$\alpha = 0,01 \quad x_k: x_2 \leq x_1 < x_3 < x_4; \quad \xi_1(z)_{0,01}: 0,250 \leq 0,26 < 1,07 < 2,0;$$

• за ступенем нелінійності $\xi_2(z)$ (нелінійний вплив) за z_α

$$\alpha = 0,05 \quad x_k: x_4 < x_3 < x_1 < x_2; \quad \xi_2(z)_{0,05}: 0,38 < 0,71 < 2,88 < 2,99;$$

$$\alpha = 0,01 \quad x_k: x_4 < x_3 < x_1 < x_2; \quad \xi_2(z)_{0,01}: 0,50 < 0,94 < 3,79 < 3,94;$$

• за ступенем сумарного впливу $\Sigma[\xi_1(z) + \xi_2(z)]$ (лінійний + нелінійний впливи) за z_α

$$\alpha = 0,05 \quad x_k: x_3 < x_4 < x_1 < x_2; \quad \Sigma_{0,05}: 2,11 < 3,02 < 3,23 < 3,32;$$

$$\alpha = 0,01 \quad x_k: x_3 < x_4 < x_1 < x_2; \quad \Sigma_{0,01}: 2,01 < 2,50 < 4,05 < 4,19;$$

г) за критерієм Стьюдента t_α

• за ступенем лінійності $\xi_1(t)$ (лінійний вплив) за t_α

$$\alpha = 0,05 \quad x_k: x_2 \leq x_1 < x_3 < x_4; \quad \xi_1(t)_{0,05}: 0,33 \leq 0,35 < 1,40 < 2,69;$$

$$\alpha = 0,01 \quad x_k: x_2 \leq x_1 < x_3 < x_4; \quad \xi_1(t)_{0,01}: 0,25 \leq 0,26 < 1,06 < 2,04;$$

• за ступенем нелінійності $\xi_2(t)$ (нелінійний вплив) за t_α

$$\alpha = 0,05 \quad x_k: x_4 < x_3 < x_1 < x_2; \quad \xi_2(t)_{0,05}: 0,37 < 0,71 < 2,9 < 3,02;$$

$$\alpha = 0,01 \quad x_k: x_4 < x_3 < x_1 < x_2; \quad \xi_2(t)_{0,01}: 0,49 \leq 0,94 < 3,84 < 3,99;$$

• за ступенем сумарного впливу $\Sigma[\xi_1(t) + \xi_2(t)]$ (лінійний + нелінійний впливи) за t_α

$$\alpha = 0,05 \quad x_k: x_3 < x_4 < x_1 < x_2; \quad \Sigma_{0,05}: 2,11 < 3,06 < 3,25 < 3,35;$$

$$\alpha = 0,01 \quad x_k: x_3 < x_4 < x_1 < x_2; \quad \Sigma_{0,01}: 2,0 < 2,53 < 4,10 < 4,24;$$

2) на y_2 (висота виступу мікронерівності над середньою площиною шорсткої поверхні):

а) за коефіцієнтом кореляції $|r_{ik}|$ (лінійний вплив)

$$x_k: x_1 < x_3 < x_2 < x_4;$$

$$|r_{ik}| : 0,72\% < 11,62\% < 15,94\% < 35,09\%;$$

б) за критичними коефіцієнтом кореляції $r_{кр}$.

• за ступенем лінійності $\xi_1(r)$ (лінійний вплив) за $r_{кр,\alpha}$

$$\alpha = 0,05 \quad x_k: x_1 < x_3 < x_2 < x_4; \quad \xi_1(r)_{0,05}: 0,04 < 0,60 < 0,82 < 1,80;$$

$$\alpha = 0,01 \quad x_k: x_1 < x_3 < x_2 < x_4; \quad \xi_1(r)_{0,01}: 0,03 < 0,47 < 0,64 < 1,40;$$

• за ступенем нелінійності $\xi_2(r)$ (нелінійний вплив) за $r_{кр,\alpha}$

$$\alpha = 0,05 \quad x_k: x_4 < x_2 < x_3 < x_1; \quad \xi_2(r)_{0,05}: 0,56 < 1,22 < 1,68 < 27,1;$$

$$\alpha = 0,01 \quad x_k: x_4 < x_2 < x_3 < x_1; \quad \xi_2(r)_{0,01}: 0,71 < 1,57 < 2,15 < 34,7;$$

• за ступенем сумарного впливу $\Sigma[\xi_1(r) + \xi_2(r)]$ (лінійний + нелінійний впливи) за $r_{кр,\alpha}$

$$\alpha = 0,05 \quad x_k: x_2 < x_3 < x_4 < x_1; \quad \Sigma_{0,05}: 2,04 < 2,28 < 2,36 < 27,14;$$

$$\alpha = 0,01 \quad x_k: x_4 < x_2 < x_3 < x_1; \quad \Sigma_{0,01}: 2,11 < 2,21 < 2,62 < 34,73;$$

в) за функцією перетворення Фішера

• за ступенем лінійності $\xi_1(z)$ (лінійний вплив) за z_α

$$\alpha = 0,05 \quad x_k: x_1 < x_3 < x_2 < x_4; \quad \xi_1(z)_{0,05}: 0,05 < 0,76 < 1,04 < 2,37;$$

$$\alpha = 0,01 \quad x_k: x_1 < x_3 < x_2 < x_4; \quad \xi_1(z)_{0,01}: 0,04 < 0,57 < 0,79 < 1,80;$$

• за ступенем нелінійності $\xi_2(z)$ (нелінійний вплив) за z_α

$\alpha=0,05$ x_k : $x_4 < x_2 < x_3 < x_1$; $\xi_2(z)_{0,05}$:
 $0,42 < 0,96 < 1,32 < 21,5$;
 $\alpha=0,01$ x_k : $x_4 < x_2 < x_3 < x_1$; $\xi_2(z)_{0,01}$:
 $0,56 < 1,26 < 1,74 < 28,2$;

• за ступенем сумарного впливу $\Sigma[\xi_1(z) + \xi_2(z)]$ (лінійний + нелінійний впливи) за z_a

$\alpha = 0,05$ x_k : $x_2 \leq x_3 < x_4 < x_1$; $\Sigma_{0,05}$: $2,0 \leq 2,08 < 2,79 < 21,55$;
 $\alpha = 0,01$ x_k : $x_2 < x_3 \leq x_4 < x_1$; $\Sigma_{0,01}$: $2,05 < 2,31 \leq 2,36 < 28,24$;

г) за критерієм Стьюдента t_a

• за ступенем лінійності $\xi_1(t)$ (лінійний вплив) за t_a

$\alpha=0,05$ x_k : $x_1 < x_3 < x_2 < x_4$;

$\xi_1(t)_{0,05}$: $0,05 < 0,76 < 1,05 < 2,57$;

$\alpha = 0,01$ x_k : $x_1 < x_3 < x_2 < x_4$;

$\xi_1(t)_{0,01}$: $0,04 < 0,57 < 0,79 < 1,95$;

• за ступенем нелінійності $\xi_2(t)$ (нелінійний вплив) за t_a

$\alpha = 0,05$ x_k : $x_4 < x_2 < x_3 < x_1$;

$\xi_2(t)_{0,05}$: $0,39 < 0,95 < 1,32 < 21,6$;

$\alpha = 0,01$ x_k : $x_4 < x_2 < x_3 < x_1$; $\xi_2(t)_{0,01}$:

$0,51 < 1,26 < 1,75 < 28,5$;

• за ступенем сумарного впливу $\Sigma[\xi_1(t) + \xi_2(t)]$ (лінійний + нелінійний впливи) за t_a

$\alpha=0,05$ x_k : $x_2 \leq x_3 < x_4 < x_1$; $\Sigma_{0,05}$: $2,0 \leq 2,08 < 2,96 < 21,65$;

$\alpha = 0,01$ x_k : $x_2 < x_3 < x_4 < x_1$; $\Sigma_{0,01}$: $2,05 < 2,32 < 2,46 < 28,54$;

3) на u_3 (діаметр мікронерівності в середній площині шорсткої поверхні):

а) за коефіцієнтом кореляції $|r_{jk}|$ (лінійний вплив)

x_k : $x_1 < x_4 < x_2 < x_3$;

$|r_{jk}|$: $4,16\% < 4,65\% < 14,21\% < 25,09\%$;

б) за критичними коефіцієнтом кореляції $r_{кр}$.

• за ступенем лінійності $\xi_1(r)$ (лінійний вплив)

за $r_{кр,\alpha}$

$\alpha = 0,05$ x_k : $x_1 < x_4 < x_2 < x_3$; $\xi_1(r)_{0,05}$: $0,21 < 0,24 < 0,73 < 1,29$;

$\alpha = 0,01$ x_k : $x_1 < x_4 < x_2 < x_3$; $\xi_1(r)_{0,01}$: $0,17 < 0,19 < 0,57 < 1,00$;

• за ступенем нелінійності $\xi_2(r)$ (нелінійний вплив) за $r_{кр,\alpha}$

$\alpha=0,05$ x_k : $x_3 < x_2 < x_4 < x_1$; $\xi_2(r)_{0,05}$: $0,78 < 1,37 < 4,19 < 4,69$;

$\alpha=0,01$ x_k : $x_3 < x_2 < x_4 < x_1$; $\xi_2(r)_{0,01}$: $1,00 < 1,76 < 5,38 < 6,01$;

• за ступенем сумарного впливу $\Sigma[\xi_1(r) + \xi_2(r)]$ (лінійний + нелінійний впливи) за $r_{кр,\alpha}$

$\alpha = 0,05$ x_k : $x_3 \leq x_2 < x_4 < x_1$; $\Sigma_{0,05}$: $2,07 \leq 2,1 < 4,43 < 4,9$;

$\alpha=0,01$ x_k : $x_3 < x_2 < x_4 < x_1$; $\Sigma_{0,01}$: $2 < 2,33 < 5,57 < 6,18$;

в) за функцією перетворення Фішера

• за ступенем лінійності $\xi_1(z)$ (лінійний вплив) за z_a

$\alpha=0,05$ x_k : $x_1 \leq x_4 < x_2 < x_3$;

$\xi_1(z)_{0,05}$: $0,27 \leq 0,30 < 0,92 < 1,65$;

$\alpha = 0,01$ x_k : $x_1 \leq x_4 < x_2 < x_3$;

$\xi_1(z)_{0,01}$: $0,20 \leq 0,23 < 0,69 < 1,25$;

• за ступенем нелінійності $\xi_2(z)$ (нелінійний вплив) за z_a

$\alpha=0,05$ x_k : $x_3 < x_2 < x_4 < x_1$; $\xi_2(z)_{0,05}$:
 $0,61 < 1,09 < 3,35 < 3,75$;

$\alpha=0,01$ x_k : $x_3 < x_2 < x_4 < x_1$; $\xi_2(z)_{0,01}$:
 $0,80 < 1,44 < 4,41 < 4,94$;

• за ступенем сумарного впливу $\Sigma[\xi_1(z) + \xi_2(z)]$ (лінійний + нелінійний впливи) за z_a

$\alpha = 0,05$ x_k : $x_2 \leq x_3 < x_4 < x_1$; $\Sigma_{0,05}$: $2,01 \leq 2,26 < 3,65 < 4,02$;

$\alpha=0,01$ x_k : $x_3 \leq x_2 < x_4 < x_1$; $\Sigma_{0,01}$: $2,05 \leq 2,13 < 4,64 < 5,14$;

г) за критерієм Стьюдента t_a

• за ступенем лінійності $\xi_1(t)$ (лінійний вплив) за t_a

$\alpha = 0,05$ x_k : $x_1 \leq x_4 < x_2 < x_3$; $\xi_1(t)_{0,05}$: $0,27 \leq 0,30 < 0,93 < 1,71$;

$\alpha = 0,01$ x_k : $x_1 < x_4 < x_2 < x_3$; $\xi_1(t)_{0,01}$: $0,20 \leq 0,23 < 0,70 < 1,29$;

• за ступенем нелінійності $\xi_2(t)$ (нелінійний вплив) за t_a

$\alpha=0,05$ x_k : $x_3 < x_2 < x_4 < x_1$; $\xi_2(t)_{0,05}$: $0,61 < 1,09 < 3,35 < 3,75$;

$\alpha = 0,01$ x_k : $x_3 < x_2 < x_4 < x_1$; $\xi_2(t)_{0,01}$: $0,80 < 1,44 < 4,41 < 4,94$;

• за ступенем сумарного впливу $\Sigma[\xi_1(t) + \xi_2(t)]$ (лінійний + нелінійний впливи) за t_a

$\alpha = 0,05$ x_k : $x_2 < x_3 < x_4 < x_1$; $\Sigma_{0,05}$: $2,02 < 2,32 < 3,65 < 4,02$;

$\alpha = 0,01$ x_k : $x_3 \leq x_2 < x_4 < x_1$; $\Sigma_{0,01}$: $2,09 \leq 2,14 < 4,64 < 5,14$.

4) на u_4 (бонітет):

а) за коефіцієнтом кореляції $|r_{jk}|$ (лінійний вплив)

x_k : $x_3 < x_1 < x_2 < x_4$;

$|r_{jk}|$: $2,40\% < 10,04\% < 13,37\% < 28,56\%$;

б) за критичними коефіцієнтом кореляції $r_{кр}$.

• за ступенем лінійності $\xi_1(r)$ (лінійний вплив)

за $r_{кр,\alpha}$

$\alpha = 0,05$ x_k : $x_3 < x_1 < x_2 < x_4$; $\xi_1(r)_{0,05}$:
 $0,12 < 0,52 < 0,68 < 1,47$;

$\alpha = 0,01$ x_k : $x_3 < x_1 < x_2 < x_4$; $\xi_1(r)_{0,01}$:
 $0,10 < 0,40 < 0,53 < 1,14$;

• за ступенем нелінійності $\xi_2(r)$ (нелінійний вплив) за $r_{кр,\alpha}$

$\alpha=0,05$ x_k : $x_4 < x_2 < x_1 < x_3$; $\xi_2(r)_{0,05}$:
 $0,68 < 1,46 < 1,94 < 8,13$;

$\alpha=0,01$ x_k : $x_4 < x_2 < x_1 < x_3$;
 $\xi_2(r)_{0,01}$: $0,88 < 1,87 < 2,49 < 10,4$;

• за ступенем сумарного впливу $\Sigma[\xi_1(r) + \xi_2(r)]$ (лінійний + нелінійний впливи) за $r_{кр,\alpha}$

$\alpha = 0,05$ x_k : $x_2 \leq x_4 < x_1 < x_3$; $\Sigma_{0,05}$: $2,14 \leq 2,15 < 2,46 < 8,25$;

$\alpha=0,01$ x_k : $x_4 < x_2 < x_1 < x_3$; $\Sigma_{0,01}$: $2,02 < 2,4 < 2,89 < 10,5$;

в) за функцією перетворення Фішера

• за ступенем лінійності $\xi_1(z)$ (лінійний вплив) за z_a

$\alpha=0,05$ x_k : $x_3 < x_1 < x_2 < x_4$; $\xi_1(z)_{0,05}$:
 $0,12 < 0,51 < 0,68 < 1,48$;

$\alpha = 0,01$ x_k : $x_3 < x_1 < x_2 < x_4$; $\xi_1(z)_{0,01}$:
 $0,09 < 0,39 < 0,52 < 1,13$;

• за ступенем нелінійності $\xi_2(z)$ (нелінійний вплив) за z_a

$\alpha=0,05$ x_k : $x_4 < x_2 < x_1 < x_3$; $\xi_2(z)_{0,05}$: $0,68 < 1,47 < 1,97 < 8,22$;

$\alpha=0,01$ x_k : $x_4 < x_2 < x_1 < x_3$; $\xi_2(z)_{0,01}$: $0,88 < 1,94 < 2,59 < 10,8$;

• за ступенем сумарного впливу $\Sigma[\xi_1(z) + \xi_2(z)]$ (лінійний + нелінійний впливи) за z_a

$\alpha = 0,05$ x_k : $x_2 \leq x_4 < x_1 < x_3$; $\Sigma_{0,05}$: $2,15 \leq 2,16 < 2,48 < 8,34$;

$\alpha=0,01$ x_k : $x_4 < x_2 < x_1 < x_3$; $\Sigma_{0,01}$: $2,01 < 2,46 < 2,98 < 10,89$;

г) за критерієм Стьюдента t_a

• за ступенем лінійності $\xi_1(t)$ (лінійний вплив) за t_a

$\alpha=0,05$ x_k : $x_3 < x_1 \leq x_2 < x_4$; $\xi_1(t)_{0,05}$: $0,12 < 0,51 \leq 0,69 < 1,56$;

$\alpha=0,01$ x_k : $x_3 < x_1 < x_2 < x_4$; $\xi_1(t)_{0,01}$: $0,09 < 0,39 < 0,80 < 1,8$;

• за ступенем нелінійності $\xi_2(t)$ (нелінійний вплив) за t_a

$\alpha=0,05$ x_k : $x_4 < x_2 < x_1 < x_3$; $\xi_2(t)_{0,05}$: $0,64 < 1,46 < 1,96 < 8,29$;

$\alpha = 0,01$

$x_k: x_4 < x_2 < x_1 < x_3; \xi_2(t)_{0,01}: 0,85 < 1,93 < 2,59 < 10,95;$

• за ступенем сумарного впливу $\Sigma[\xi_1(t) + \xi_2(t)]$ (лінійний + нелінійний вплив) за t_a

$\alpha = 0,05 \quad x_k: x_2 \leq x_4 < x_1 < x_3; \Sigma_{0,05}: 2,15 \leq 2,20 < 2,47 < < 8,41;$

$\alpha = 0,01 \quad x_k: x_4 \leq x_2 < x_1 < x_3; \Sigma_{0,01}: 2,03 \leq \leq 2,73 < 2,98 < 11,04.$

5) на u_5 (показна площа покриття):

а) за коефіцієнтом кореляції $|r_{ik}|$ (лінійний вплив)

$x_k: x_1 < x_3 < x_4 < x_2;$

$|r_{ik}|: 2,72\% < 3,45\% < 6,63\% < 7,60\%;$

б) за критичним коефіцієнтом кореляції $r_{кр}$.

• за ступенем лінійності $\xi_1(r)$ (лінійний вплив) за $r_{кр,a}$

$\alpha = 0,05 \quad x_k: x_1 \leq x_3 < x_4 \leq x_2; \xi_1(r)_{0,05}: 0,14 \leq 0,18 < 0,34 \leq 0,39;$

$\alpha = 0,01 \quad x_k: x_1 \leq x_3 < x_4 \leq x_2; \xi_1(r)_{0,01}: 0,11 \leq 0,14 < 0,27 \leq 0,30;$

• за ступенем нелінійності $\xi_2(r)$ (нелінійний вплив) за $r_{кр,a}$

$\alpha = 0,05 \quad x_k: x_2 < x_4 < x_3 < x_1; \xi_2(r)_{0,05}: 2,57 < 2,94 < 5,65 < 7,17;$

$\alpha = 0,01 \quad x_k: x_2 < x_4 < x_3 < x_1; \xi_2(r)_{0,01}: 3,29 < 3,77 < 7,25 < 9,19;$

• за ступенем сумарного впливу $\Sigma[\xi_1(r) + \xi_2(r)]$ (лінійний + нелінійний вплив) за $r_{кр,a}$

$\alpha = 0,05 \quad x_k: x_2 < x_4 < x_3 < x_1; \Sigma_{0,05}: 2,96 < 3,28 < 5,83 < 7,31;$

$\alpha = 0,01 \quad x_k: x_2 < x_4 < x_3 < x_1; \Sigma_{0,01}: 3,59 < 4,04 < 7,39 < 9,3;$

в) за функцією перетворення Фішера

• за ступенем лінійності $\xi_1(z)$ (лінійний вплив) за z_a

$\alpha = 0,05 \quad x_k: x_1 \leq x_3 < x_4 \leq x_2; \xi_1(z)_{0,05}: 0,33 \leq 0,42 < 0,81 \leq 0,93;$

$\alpha = 0,01 \quad x_k: x_1 \leq x_3 < x_4 \leq x_2; \xi_1(z)_{0,01}: 0,25 \leq 0,32 < 0,61 \leq 0,70;$

• за ступенем нелінійності $\xi_2(z)$ (нелінійний вплив) за z_a

$\alpha = 0,05 \quad x_k: x_2 < x_4 < x_3 < x_1; \xi_2(z)_{0,05}: 1,08 < 1,24 < 2,38 < 3,01;$

$\alpha = 0,01 \quad x_k: x_2 < x_4 < x_3 < x_1; \xi_2(z)_{0,01}: 1,42 < 1,63 < 3,13 < 3,97;$

• за ступенем сумарного впливу $\Sigma[\xi_1(z) + \xi_2(z)]$ (лінійний + нелінійний вплив) за z_a

$\alpha = 0,05 \quad x_k: x_2 \leq x_4 < x_3 < x_1; \Sigma_{0,05}: 2,01 \leq 2,05 < 2,80 < 3,34;$

$\alpha = 0,01 \quad x_k: x_2 \leq x_4 < x_3 < x_1; \Sigma_{0,01}: 2,12 \leq 2,24 < 3,45 < 4,22;$

г) за критерієм Стюдента t_a

• за ступенем лінійності $\xi_1(t)$ (лінійний вплив) за t_a

$\alpha = 0,05 \quad x_k: x_1 \leq x_3 < x_4 \leq x_2; \xi_1(t)_{0,05}: 0,33 \leq 0,42 < 0,81 \leq 0,93;$

$\alpha = 0,01 \quad x_k: x_1 \leq x_3 < x_4 \leq x_2; \xi_1(t)_{0,01}: 0,25 \leq 0,32 < 0,61 \leq 0,70;$

• за ступенем нелінійності $\xi_2(t)$ (нелінійний вплив) за t_a

$\alpha = 0,05 \quad x_k: x_2 \leq x_4 < x_3 < x_1; \xi_2(t)_{0,05}: 1,08 \leq 1,24 < 2,40 < 3,04;$

$\alpha = 0,01 \quad x_k: x_2 \leq x_4 < x_3 < x_1; \xi_2(t)_{0,01}: 1,43 \leq 1,64 < 3,17 < 4,02;$

• за ступенем сумарного впливу $\Sigma[\xi_1(t) + \xi_2(t)]$ (лінійний + нелінійний вплив) за t_a

$\alpha = 0,05 \quad x_k: x_2 \leq x_4 < x_3 < x_1; \Sigma_{0,05}: 2,01 \leq 2,05 < 2,82 < 3,37;$

$\alpha = 0,01 \quad x_k: x_2 \leq x_4 < x_3 < x_1; \Sigma_{0,01}: 2,13 \leq 2,25 < 3,49 < 4,27.$

б) на u_6 (повнота (щільність) покриття):

а) за коефіцієнтом кореляції $|r_{ik}|$ (лінійний вплив)

$x_k: x_2 \leq x_1 < x_4 < x_3;$

Таблиця 3

Матриця коефіцієнтів кореляції між значеннями функції відгуку $y_i \sim y_j$

$y_i \backslash y_j$	y_1	y_2	y_3	y_4	y_5	y_6	y_7	$\Sigma r_{ij} $	Ранг y_i
y_1	1	-0,2401	0,0578	0,3203	-0,0518	-0,1735	0,0716	1,9151	6
y_2	-0,2401	1	0,5157	-0,5837	0,1473	0,3799	0,2976	3,1643	1
y_3	0,0578	0,5157	1	-0,2706	0,1617	0,2466	0,6194	2,8718	3
y_4	0,3203	-0,5837	-0,2706	1	-0,3174	-0,3014	-0,1075	2,9009	2
y_5	-0,0518	0,1473	0,1617	-0,3174	1	0,1162	0,1004	1,8948	7
y_6	-0,1735	0,3799	0,2466	-0,3014	0,1162	1	-0,1471	2,3647	4
y_7	0,0716	0,2976	0,6194	-0,1075	0,1004	-0,1471	1	2,3436	5

Таблиця 4

Матриця коефіцієнтів кореляції між значеннями вхідних факторів $x_k \sim x_m$

$x_k \backslash x_m$	x_1	x_2	x_3	x_4	$\sum_{k,m=1}^{n=4} r_{km} $	Ранг x_k
x_1	1	0,0756	-0,0270	-0,0207	1,1233	4
x_2	0,0756	1	0,1473	-0,0387	1,2616	2
x_3	-0,0270	0,1473	1	-0,1428	1,3171	1
x_4	-0,0207	-0,0387	-0,1428	1	1,2022	3

Таблиця 5

Матриця ступенів нелінійності кореляційних зв'язків $[\xi_2(r)]$, визначених за розрахованими та критичними коефіцієнтами кореляції (чисельник – для рівня значущості $\alpha = 0,05$, знаменник – $\alpha = 0,01$)

ξ_i \ ξ_j	$\xi(r)_1$	$\xi(r)_2$	$\xi(r)_3$	$\xi(r)_4$	$\xi(r)_5$	$\xi(r)_6$	$\xi(r)_7$	$\Sigma \xi_2(r) $	Θ
$\xi(r)_1$	1	0,8122	3,3737	0,6088	3,7645	1,1239	2,7235	13,4066	1
	1	1,0412	4,3253	0,7805	4,8263	1,4409	3,4916	16,9058	1
$\xi(r)_2$	0,8122	1	0,3781	0,3341	1,3238	0,5133	0,6552	5,0167	7
	1,0412	1	0,4848	0,4283	1,6972	0,6581	0,8401	6,1497	7
$\xi(r)_3$	3,3737	0,3781	1	0,7206	1,2059	0,7908	0,3148	7,7839	4
	4,3253	0,4848	1	0,9239	1,5461	1,0138	0,4036	9,6975	4
$\xi(r)_4$	0,6088	0,3341	0,7206	1	0,6144	0,6470	1,8140	5,7389	6
	0,7805	0,4283	0,9239	1	0,7877	0,8230	2,3256	7,0690	6
$\xi(r)_5$	3,7645	1,3238	1,2059	0,6144	1	1,6781	1,9422	11,5289	2
	4,8263	1,6972	1,5461	0,7877	1	2,1515	2,4900	14,4988	2
$\xi(r)_6$	1,1239	0,5133	0,7908	0,6470	1,6781	1	1,3256	7,0787	5
	1,4409	0,6581	1,0138	0,8230	2,1515	1	1,6995	8,7868	5
$\xi(r)_7$	2,7235	0,6552	0,3148	1,8140	1,9422	1,3256	1	9,7753	3
	3,4916	0,8401	0,4036	2,3256	2,4900	1,6995	1	12,2504	3

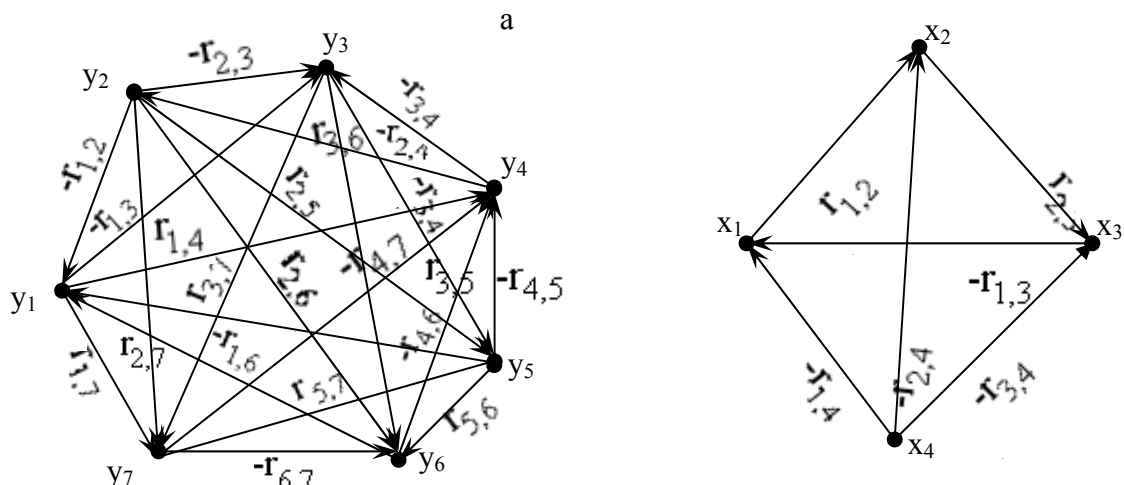


Рис. 2. Граф кореляційних зв'язків між $y_i \sim y_j$ (а) та $x_k \sim x_m$ (б)

$$|r_{ik}| : 4,55\% \leq 6,27\% < 12,27\% < 21,9\%;$$

б) за критичними коефіцієнтами кореляції $r_{кр}$.

• за ступенем лінійності $\xi_1(r)$ (лінійний вплив)

за $r_{кр,\alpha}$

$\alpha = 0,05$ x_k : $x_2 < x_1 < x_4 < x_3$; $\xi_1(r)_{0,05}$: $0,23 < 0,32 < 0,63 < 1,12$;

$\alpha = 0,01$ x_k : $x_2 < x_1 < x_4 < x_3$; $\xi_1(r)_{0,01}$: $0,18 < 0,25 < 0,49 < 0,88$;

• за ступенем нелінійності $\xi_2(r)$ (нелінійний вплив) за $r_{кр,\alpha}$

$\alpha = 0,05$ x_k : $x_3 < x_4 < x_1 < x_2$; $\xi_2(r)_{0,05}$: $0,89 < 1,59 < 3,11 < 4,29$;

$\alpha = 0,01$ x_k : $x_3 < x_4 < x_1 < x_2$; $\xi_2(r)_{0,01}$: $1,14 < 2,04 < 3,99 < 5,50$;

• за ступенем сумарного впливу $\Sigma[\xi_1(r) + \xi_2(r)]$ (лінійний + нелінійний впливи) за $r_{кр,\alpha}$

$\alpha = 0,05$ x_k : $x_3 < x_4 < x_1 < x_2$; $\Sigma_{0,05}$: $2,01 < 2,22 < 3,43 < 4,52$;

$\alpha = 0,01$ x_k : $x_3 < x_4 < x_1 < x_2$; $\Sigma_{0,01}$: $2,02 < 2,53 < 4,24 < 5,68$;

в) за функцією перетворення Фішера

• за ступенем лінійності $\xi_1(z)$ (лінійний вплив) за

z_a
 $\alpha = 0,05$ x_k : $x_2 < x_1 < x_4 < x_3$; $\xi_1(z)_{0,05}$: $0,56 < 0,76 < 1,50 < 2,71$;

$\alpha = 0,01$ x_k : $x_2 < x_1 < x_4 < x_3$; $\xi_1(z)_{0,01}$: $0,42 < 0,58 < 1,14 < 2,06$;

• за ступенем нелінійності $\xi_2(z)$ (нелінійний вплив) за z_a

$\alpha = 0,05$ x_k : $x_3 < x_4 < x_1 < x_2$; $\xi_2(z)_{0,05}$: $0,37 < 0,67 < 1,31 < 1,80$;

$\alpha = 0,01$ x_k : $x_3 < x_4 < x_1 < x_2$; $\xi_2(z)_{0,01}$: $0,49 < 0,88 < 1,72 < 2,37$;

• за ступенем сумарного впливу $\Sigma[\xi_1(z) + \xi_2(z)]$ (лінійний + нелінійний впливи) за z_a

$\alpha = 0,05$ x_k : $x_1 \leq x_4 < x_2 < x_3$; $\Sigma_{0,05}$: $2,07 \leq 2,17 < 2,36 < 3,08$;

$\alpha = 0,01$ x_k : $x_4 < x_1 < x_3 < x_2$; $\Sigma_{0,01}$: $2,02 < 2,30 < 2,55 < 2,79$;

Таблиця 6

Матриця ступенів лінійності $[\xi_1(r)]$ та суми ступенів лінійності та нелінійності $\Sigma[\xi_1(r) + \xi_2(r)]$ кореляційних зв'язків, визначених за розрахунковими та критичними коефіцієнтами кореляції (чисельник – для рівня значущості $\alpha = 0,05$, знаменник – $\alpha = 0,01$)

$\xi_j \backslash \xi_i$	$\xi(r)_1$	$\xi(r)_2$	$\xi(r)_3$	$\xi(r)_4$	$\xi(r)_5$	$\xi(r)_6$	$\xi(r)_7$	$\Sigma \xi_1(r) $	Θ	$\Sigma[\xi_1(r)+\xi_2(r)]$	Θ
$\xi(r)_1$	1	1,2313	0,2964	1,6426	0,2656	0,8897	0,3672	5,6928	6	19,0994	1
	1	0,9604	0,2312	1,2812	0,2072	0,6940	0,2864	4,6604	6	21,5662	1
$\xi(r)_2$	1,2313	1	2,6446	2,9933	0,7554	1,9482	1,5262	12,0990	1	17,5662	5
	0,9604	1	2,0628	2,3348	0,5892	1,5196	1,1904	9,6572	1	15,8069	5
$\xi(r)_3$	0,2964	2,6446	1	1,3877	0,8292	1,2646	3,1764	10,5989	3	18,3828	2
	0,2312	2,0628	1	1,0824	0,6468	0,9864	2,4776	8,4872	3	18,1847	4
$\xi(r)_4$	1,6426	2,9933	1,3877	1	1,6277	1,5456	0,5513	10,7482	2	16,4871	6
	1,2812	2,3348	1,0824	1	1,2696	1,2056	0,4300	8,6036	2	15,6726	6
$\xi(r)_5$	0,2656	0,7554	0,8292	1,6277	1	0,5959	0,5149	5,5887	7	17,1176	4
	0,2072	0,5892	0,6468	1,2696	1	0,4648	0,4016	4,5792	7	19,0780	2
$\xi(r)_6$	0,8897	1,9482	1,2646	1,5456	0,5959	1	0,7544	7,9984	4	15,0771	7
	0,6940	1,5196	0,9864	1,2056	0,4648	1	0,5884	6,4588	4	15,2456	7
$\xi(r)_7$	0,3672	1,5262	3,1764	0,5513	0,5149	0,7544	1	7,8904	5	17,6657	3
	0,2864	1,1904	2,4776	0,4300	0,4016	0,5884	1	6,3744	5	18,6248	3

Таблиця 7

Матриця ступенів нелінійності кореляційних зв'язків $[\xi_2(z)]$, визначених за функцією перетворення Фішера (чисельник – для рівня значущості $\alpha = 0,05$, знаменник – $\alpha = 0,01$)

$\xi_j \backslash \xi_i$	$\xi(z)_1$	$\xi(z)_2$	$\xi(z)_3$	$\xi(z)_4$	$\xi(z)_5$	$\xi(z)_6$	$\xi(z)_7$	$\Sigma \xi_2(z) $	Θ
$\xi(z)_1$	1	0,6309	2,6972	0,5964	1,5800	0,4678	1,1437	8,1160	1
	1	0,8301	3,5519	0,7849	2,0809	0,6161	1,5063	10,3702	1
$\xi(z)_2$	0,6309	1	0,2733	0,2964	1,0418	0,3864	0,5034	4,1322	7
	0,8301	1	0,3599	0,3901	1,3709	0,5084	0,6624	5,1218	7
$\xi(z)_3$	2,6972	0,2733	1	0,7135	0,9559	0,6191	0,2153	6,4743	3
	3,5519	0,3599	1	0,9391	1,2587	0,8153	0,2836	8,2085	3
$\xi(z)_4$	0,5964	0,2964	0,7135	1	0,6022	0,6365	1,8350	5,6800	5
	0,7849	0,3901	0,9391	1	0,7926	0,8377	2,4152	7,1596	5
$\xi(z)_5$	1,5800	1,0418	0,9559	0,6022	1	0,7027	0,8143	6,6969	2
	2,0809	1,3709	1,2587	0,7926	1	0,9255	1,0725	8,5011	5
$\xi(z)_6$	0,4678	0,3864	0,6191	0,6365	0,7027	1	0,5537	4,3662	6
	0,6161	0,5084	0,8153	0,8377	0,9255	1	0,7292	5,4322	6
$\xi(z)_7$	1,1437	0,5034	0,2153	1,8350	0,8143	0,5537	1	6,0654	4
	1,5063	0,6624	0,2836	2,4152	1,0725	0,7292	1	7,6692	4

Таблиця 8

Матриця ступенів лінійності $[\xi_1(z)]$ та суми ступенів лінійності та нелінійності $\Sigma[\xi_1(z) + \xi_2(z)]$ кореляційних зв'язків, визначених за функцією перетворення Фішера (чисельник – для рівня значущості $\alpha=0,05$, знаменник – $\alpha=0,01$)

$\xi_j \backslash \xi_i$	$\xi(z)_1$	$\xi(z)_2$	$\xi(z)_3$	$\xi(z)_4$	$\xi(z)_5$	$\xi(z)_6$	$\xi(z)_7$	$\Sigma[\xi_1(z)]$	Θ	$\Sigma[\xi_1(z) + \xi_2(z)]$	Θ
$\xi(z)_1$	1	1,5851	0,3708	1,6768	0,6329	2,1378	0,8744	8,2778	6	16,3938	6
	1	1,2046	0,2815	1,2740	0,4806	1,6232	0,6639	6,5278	6	16,8980	3
$\xi(z)_2$	1,5851	1	3,6594	3,3742	0,9599	2,5884	1,9864	15,1534	1	19,2856	2
	1,2046	1	2,7789	2,5637	0,7295	1,9670	1,5096	11,7533	1	16,8751	4
$\xi(z)_3$	0,3708	3,6594	1	1,4015	1,0462	1,6151	4,6440	13,7370	2	20,2113	1
	0,2815	2,7789	1	1,0649	0,7945	1,2265	3,5266	10,6729	2	18,8814	1
$\xi(z)_4$	1,6768	3,3742	1,4015	1	1,6606	1,5712	0,5450	11,2293	5	16,9093	4
	1,2740	2,5637	1,0649	1	1,2617	1,1938	0,4141	8,7722	5	15,9318	5
$\xi(z)_5$	0,6329	0,9599	1,0462	1,6606	1	1,4232	1,2281	7,9509	7	14,6478	7
	0,4806	0,7295	0,7945	1,2617	1	1,0806	0,9324	6,2793	7	14,7804	7
$\xi(z)_6$	2,1378	2,5884	1,6151	1,5712	1,4232	1	1,8061	12,1418	3	16,5080	5
	1,6232	1,9670	1,2265	1,1938	1,0806	1	1,3713	9,4624	3	14,8946	6
$\xi(z)_7$	0,8744	1,9864	4,6440	0,5450	1,2281	1,8061	1	12,0840	4	18,1494	3
	0,6639	1,5096	3,5266	0,4141	0,9324	1,3713	1	9,4179	4	17,0871	2

Таблиця 9

Матриця ступенів нелінійності кореляційних зв'язків $[\xi_2(t)]$, визначених за розрахованими та критичними критеріями Стюдента (чисельник – для рівня значущості $\alpha = 0,05$, знаменник – $\alpha=0,01$)

$\xi_j \backslash \xi_i$	$\xi(t)_1$	$\xi(t)_2$	$\xi(t)_3$	$\xi(t)_4$	$\xi(t)_5$	$\xi(t)_6$	$\xi(t)_7$	$\Sigma[\xi_2(t)]$	Θ
$\xi(t)_1$	1	0,6106	2,7090	0,5575	1,5925	0,4628	1,1503	8,0827	1
	1	0,8070	3,5805	0,7369	2,1049	0,6117	1,5204	10,3614	1
$\xi(t)_2$	0,6106	1	0,2235	0,2248	1,0332	0,3504	0,4764	3,9189	7
	0,8070	1	0,2954	0,2971	1,3656	0,4631	0,6297	4,8579	7
$\xi(t)_3$	2,7090	0,2235	1	0,6815	0,9457	0,5980	0,1563	6,3140	3
	3,5805	0,2954	1	0,9008	1,2499	0,7904	0,2065	8,0235	3
$\xi(t)_4$	0,5575	0,2248	0,6815	1	0,5638	0,6003	1,8298	5,4577	5
	0,7369	0,2971	0,9008	1	0,7452	0,7934	2,4185	6,8919	5
$\xi(t)_5$	1,5925	1,0332	0,9457	0,5638	1	0,7029	0,8163	6,6544	2
	2,1049	1,3656	1,2499	0,7452	1	0,9290	1,0789	8,4735	2
$\xi(t)_6$	0,4628	0,3504	0,5980	0,6003	0,7029	1	0,5506	4,2650	6
	0,6117	0,4631	0,7904	0,7934	0,9290	1	0,7278	5,3154	6
$\xi(t)_7$	1,1503	0,4764	0,1563	1,8298	0,8163	0,5506	1	5,9797	4
	1,5204	0,6297	0,2065	2,4185	1,0789	0,7278	1	7,5818	4

г) за критерієм Стюдента t_α

- за ступенем лінійності $\xi_1(t)$ (лінійний вплив) за t_α
 $\alpha=0,05$ x_k : $x_2 \leq x_1 < x_4 < x_3$; $\xi_1(t)_{0,05}$: $0,55 \leq \leq 0,76 < 1,50 < 2,78$;
 $\alpha=0,01$ x_k : $x_2 \leq x_1 < x_4 < x_3$; $\xi_1(t)_{0,01}$: $0,42 \leq 0,58 < 1,14 < < 2,10$;
- за ступенем нелінійності $\xi_2(t)$ (нелінійний вплив) за t_α
 $\alpha=0,05$ x_k : $x_3 < x_4 < x_1 < x_2$; $\xi_2(t)_{0,05}$: $0,36 < 0,67 < 1,32 < < 1,82$;
 $\alpha=0,01$ x_k : $x_3 < x_4 < x_1 < x_2$; $\xi_2(t)_{0,01}$: $0,48 < 0,88 < < 1,74 < 2,40$;

- за ступенем сумарного впливу $\Sigma[\xi_1(t) + \xi_2(t)]$ (лінійний + нелінійний впливи) за t_α
 $\alpha = 0,05$ x_k : $x_4 < x_1 \leq x_2 < x_3$; $\Sigma_{0,05}$: $1,17 < 2,08 \leq 2,37 < < 3,14$;
 $\alpha=0,01$ x_k : $x_4 < x_1 \leq x_3 \leq x_2$; $\Sigma_{0,01}$: $2,02 < 2,32 \leq 2,58 \leq \leq 2,82$;

7) на u_7 (вік мікронерівностей покриття):

а) за коефіцієнтом кореляції $|r_{jk}|$ (лінійний вплив)

$$x_k: x_1 \leq x_4 \leq x_2 < x_3;$$

$$|r_{jk}| : 5,26\% \leq 6,49\% \leq 7,06\% \ll 19,58\%;$$

б) за критичними коефіцієнтом кореляції $r_{кр}$.

- за ступенем лінійності $\xi_1(t)$ (лінійний вплив) за

$$\Gamma_{кр,\alpha}$$

$\alpha = 0,05$ x_k : $x_1 \leq x_4 \leq x_2 < x_3$; $\xi_1(r)_{0,05}$: $0,27 \leq 0,33 \leq 0,36 < 1,004$;

$\alpha = 0,01$ x_k : $x_1 \leq x_4 \leq x_2 < x_3$; $\xi_1(r)_{0,01}$: $0,21 \leq 0,26 \leq 0,28 < 0,78$;

• за ступенем нелінійності $\xi_2(r)$ (нелінійний вплив) за $r_{кр,\alpha}$

$\alpha = 0,05$ x_k : $x_3 < x_2 < x_4 < x_1$; $\xi_2(r)_{0,05}$: $0,996 < 2,76 < 3,00 < 3,71$;

$\alpha = 0,01$ x_k : $x_3 < x_2 < x_4 < x_1$; $\xi_2(r)_{0,01}$: $1,28 < 3,54 < 3,85 < 4,75$;

• за ступенем сумарного впливу $\Sigma[\xi_1(r) + \xi_2(r)]$ (лінійний + нелінійний впливи) за $r_{кр,\alpha}$

$\alpha = 0,05$ x_k : $x_3 < x_2 < x_4 < x_1$; $\Sigma_{0,05}$: $2,0 < 3,12 < 3,33 < 3,98$;

$\alpha = 0,01$ x_k : $x_3 < x_2 < x_4 < x_1$; $\Sigma_{0,01}$: $2,06 < 3,82 < 4,11 < 4,96$;

в) за функцією перетворення Фішера

• за ступенем лінійності $\xi_1(z)$ (лінійний вплив) за z_α

$\alpha = 0,05$ x_k : $x_1 \leq x_4 \leq x_2 < x_3$; $\xi_1(z)_{0,05}$: $0,64 \leq 0,79 \leq 0,86 < 2,42$;

$\alpha = 0,01$ x_k : $x_1 \leq x_4 \leq x_2 < x_3$; $\xi_1(z)_{0,01}$: $0,49 \leq 0,60 \leq 0,65 < 1,84$;

• за ступенем нелінійності $\xi_2(z)$ (нелінійний вплив) за z_α

$\alpha = 0,05$ x_k : $x_3 < x_2 \leq x_4 < x_1$; $\xi_2(z)_{0,05}$: $0,41 < 1,16 \leq 1,26 < 1,56$;

$\alpha = 0,01$ x_k : $x_3 < x_2 \leq x_4 < x_1$; $\xi_2(z)_{0,01}$: $0,54 < 1,53 \leq 1,66 < 2,05$;

• за ступенем сумарного впливу $\Sigma[\xi_1(z) + \xi_2(z)]$ (лінійний + нелінійний впливи) за z_α

$\alpha = 0,05$ x_k : $x_2 \leq x_4 < x_1 < x_3$; $\Sigma_{0,05}$: $2,02 \leq 2,05 < 2,20 < 2,83$;

$\alpha = 0,01$ x_k : $x_2 \leq x_4 < x_3 < x_1$; $\Sigma_{0,01}$: $2,18 \leq 2,26 < 2,38 < 2,54$;

г) за критерієм Стьюдента t_α

• за ступенем лінійності $\xi_1(t)$ (лінійний вплив) за t_α

$\alpha = 0,05$ x_k : $x_1 \leq x_4 \leq x_2 < x_3$; $\xi_1(t)_{0,05}$: $0,64 \leq 0,79 \leq 0,86 < 2,46$;

$\alpha = 0,01$ x_k : $x_1 \leq x_4 \leq x_2 < x_3$; $\xi_1(t)_{0,01}$: $0,48 \leq 0,60 < 0,65 < 1,86$;

• за ступенем нелінійності $\xi_2(t)$ (нелінійний вплив) за t_α

$\alpha = 0,05$ x_k : $x_3 < x_2 \leq x_4 < x_1$; $\xi_2(t)_{0,05}$: $0,41 < 1,17 \leq 1,27 < 1,57$;

$\alpha = 0,01$ x_k : $x_3 < x_2 < x_4 < x_1$; $\xi_2(t)_{0,01}$: $0,54 < 1,54 \leq 1,68 < 2,07$;

• за ступенем сумарного впливу $\Sigma[\xi_1(t) + \xi_2(t)]$ (лінійний + нелінійний впливи) за t_α

$\alpha = 0,05$ x_k : $x_2 < x_4 \leq x_1 < x_3$; $\Sigma_{0,05}$: $0,85 < 2,06 \leq 2,21 < 2,87$;

$\alpha = 0,01$ x_k : $x_2 < x_4 \leq x_3 \leq x_1$; $\Sigma_{0,01}$: $2,19 < 2,28 \leq 2,40 \leq 2,55$.

Рівняння ліній регресії за значущими коефіцієнтами кореляції між $y_i \sim x_k$ мають такий вигляд:

$$y_1 = -4,6217 + 0,0106x_3; y_1 = 21,2475 - 5,6689x_4;$$

$$y_2 = 21,9659 - 0,1045x_2; y_2 = 12,0026 + 3,3370x_4;$$

$$y_3 = 48,5213 - 0,0145x_3; y_4 = 5,1526 - 0,5475x_4;$$

$$y_6 = 0,8059 - 0,0002x_3; y_6 = 0,5183 + 0,0282x_4;$$

$$y_7 = 46,3847 + 0,0572x_3.$$

Рівняння ліній регресії за значущими коефіцієнтами кореляції між $x_k \sim x_m$ та $y_i \sim y_j$ мають такий вигляд:

$$x_2 = 17,5011 + 0,0074x_3; x_3 = 1392,76 - 41,3049x_4;$$

$$y_1 = 22,0036 - 0,6725y_2; y_1 = 8,5786 + 4,4482y_4;$$

$$y_1 = 20,7525 - 20,0721y_6; y_2 = 10,4621 + 0,293y_3;$$

$$y_2 = 30,6615 - 2,895y_4; y_2 = 10,0505 + 15,6932y_6;$$

$$y_2 = 15,0785 + 0,0335y_7; y_3 = 38,9898 - 2,362y_4;$$

$$y_3 = 28,6496 + 0,1319y_5; y_3 = 19,2072 + 17,9313y_6;$$

$$y_3 = 14,7414 + 0,1227y_7; y_4 = 4,1928 - 0,0297y_5;$$

$$y_4 = 5,4358 - 2,5107y_6; y_5 = 1,0744 + 10,3617y_6;$$

$$y_5 = 4,1206 + 0,0244y_7; y_6 = 0,627 - 0,0004y_7.$$

2.3. Визначення «лідерів» і «автсайдерів» функцій відгуку та входних факторів

1. За коефіцієнтом кореляції (лінійний вплив). При визначенні найбільш показної функції відгуку y_i та найбільш показного входного фактора x_k за коефіцієнтами кореляції використали теорію графів [23, 24], розглядаючи матриці суміжності графів (табл. 3, 4), у яких двом суміжним вершинам (рис.2) приписані значення, що дорівнюють величинам відповідних коефіцієнтів кореляції (табл. 2).

Таблиця 10

Матриця ступенів лінійності $[\xi_1(t)]$ та суми ступенів лінійності та нелінійності $\Sigma[\xi_1(t) + \xi_2(t)]$ кореляційних зв'язків, визначених за розрахунковими та критичними критеріями Стьюдента (чисельник – для рівня значущості $\alpha = 0,05$, знаменник – $\alpha = 0,01$)

ξ_i	$\xi(t)_1$	$\xi(t)_2$	$\xi(t)_3$	$\xi(t)_4$	$\xi(t)_5$	$\xi(t)_6$	$\xi(t)_7$	$\Sigma[\xi_1(t)]$	Θ	$\Sigma[\xi_1(t) + \xi_2(t)]$	Θ
$\xi(t)_1$	1	1,6378	0,3691	1,7936	0,6279	2,1608	0,8693	8,4585	6	16,5412	6
	1	1,2392	0,2793	1,3570	0,4751	1,6348	0,6577	6,6431	6	17,0045	4
$\xi(t)_2$	1,6378	1	4,4741	4,4490	0,9679	2,8540	2,0989	17,4817	1	21,4006	2
	1,2392	1	3,3851	3,3661	0,7323	2,1593	1,5880	13,4700	1	18,3279	3
$\xi(t)_3$	0,3691	4,4741	1	1,4673	1,0574	1,6722	6,4001	16,4402	2	22,7542	1
	0,2793	3,3851	1	1,1101	0,8000	1,2652	4,8422	12,6819	2	20,7054	1
$\xi(t)_4$	1,7936	4,4490	1,4673	1	1,7737	1,6659	0,5465	12,6960	4	17,1537	4
	1,3570	3,3661	1,1101	1	1,3420	1,2604	0,4135	9,8491	4	16,7410	5
$\xi(t)_5$	0,6279	0,9679	1,0574	1,7737	1	1,4228	1,2251	8,0748	7	14,7292	7
	0,4751	0,7323	0,8000	1,3420	1	1,0765	0,9269	6,3528	7	14,8263	7
$\xi(t)_6$	2,1608	2,8540	1,6722	1,6659	1,4228	1	1,8161	12,5918	5	16,8568	5

	1,6348	2,1593	1,2652	1,2604	1,0765	1	1,3741	9,7703	5	15,0857	6
$\xi(t)_7$	0,8693	2,0989	6,4001	0,5465	1,2251	1,8161	1	13,9560	3	19,9357	3
	0,6577	1,5880	4,8422	0,4135	0,9269	1,3741	1	10,8024	3	18,3849	2

За процедурою [8] при виборі найбільш показних u_i та x_k із груп u_1, \dots, u_7 та x_1, \dots, x_4 давали

оцінку сумарної сили лінійного впливу $\sum_{i,j=1}^{n=7} |r_{ij}|$ та

$\sum_{k,m=1}^{n=4} |r_{km}|$ кожного u_i та x_k з відповідної групи u (або

x) на решту u_j та x_m за теорією графів [23, 24], поставивши у відповідність сумі, що міститься в рядку,

ранг Θ (табл. 3, 4). У табл. 3 і 4: $|r_{ij}| = |r_{ji}|$,

$|r_{km}| = |r_{mk}|$. Ці результати дозволили виявити

мажорантні ряди за зростаючою сумарною силою зв'язку (сума елементів матриць табл. 3 і 4) та виявити «лідерів» і «автсайдерів» за коефіцієнтами кореляції (табл. 2):

- за функцією відгуку

$$y_5 \leq y_1 < y_7 \leq y_6 < y_3 \leq y_4 < y_2; \quad (7)$$

$$\Sigma |r_{ij}|: 1,89 \leq 1,92 < 2,34 < 2,36 < 2,87 \leq 2,903, 16;$$

- за вхідними факторами

$$x_1 < x_4 < x_2 < x_3. \quad (8)$$

$$\Sigma |r_{ij}|: 1,12 < 1,20 < 1,26 < 1,32.$$

2. За ступенями лінійності, нелінійності або сумою ступенів лінійності та нелінійності. При визначенні найбільш показної функції відгуку u_i використали теорії графів [23, 24], розглядаючи матриці суміжності графів (аналогія рис. 2), яких двом суміжним вершинам приписані значення, що дорівнюють величинам відповідних ступенів рівності $\xi_1(r)$, $\xi_1(z)$, $\xi_1(t)$, ступенів нерівності $\xi_2(r)$, $\xi_2(z)$, $\xi_2(t)$ або суми ступенів рівності та нерівності $\Sigma[\xi_1(r) + \xi_2(r)]$, $\Sigma[\xi_1(z) + \xi_2(z)]$, $\Sigma[\xi_1(t) + \xi_2(t)]$ кореляційних зв'язків.

2.1. За критичним значенням коефіцієнта кореляції. За процедурою [8] при виборі найбільш показних функцій відгуку u_i із груп u_1, \dots, u_7 давали оцінку: сумарної сили нелінійного впливу

$$\sum_{i,j=1}^{n=7} |\xi_2(r_{ij})| \quad (\text{табл. 5}); \text{ сумарної сили лінійного}$$

$$\text{впливу } \sum_{i,j=1}^{n=7} |\xi_1(r_{ij})| \quad (\text{табл. 6}); \text{ сумарної сили сумісного}$$

$$\text{лінійного та нелінійного впливу } \sum_{i,j=1}^{n=7} [\xi_1(r_{ij}) + \xi_2(r_{ij})]$$

(табл. 6) кожного u_i з відповідної групи $[u]$ на решту u_j за теорією графів [23, 24]. У табл. 5, 6 $\xi_2(r_{ij}) = \xi_2(r_{ji})$,

$$\xi_1(r_{ij}) = \xi_1(r_{ji}), [\xi_1(r_{ij}) + \xi_2(r_{ij})] = [\xi_1(r_{ji}) + \xi_2(r_{ji})].$$

Ці результати (табл. 5, 6) дозволили виявити мажорантні ряди за зростаючою сумарною силою зв'язку $u_i \sim u_j$ (сума елементів матриць табл. 5 і 6) та виявити «лідерів» та «автсайдерів» за:

- а) ступенями нелінійності $\xi_2(r)$

$$\alpha = 0,05; \alpha = 0,01 \quad y_2 < y_4 < y_6 < y_3 < y_7 < y_5 < y_1; \quad (9)$$

$$\text{у ряді (9) } \Sigma \xi_2(r) \text{ змінюється від } 5,017 \text{ до } 13,407$$

($\alpha = 0,05$) та від 6,150 до 16,906 ($\alpha = 0,01$) (табл. 5);

- б) ступенями лінійності $\xi_1(r)$

$$\alpha = 0,05; \alpha = 0,01 \quad y_5 \leq y_1 < y_7 \leq y_6 < y_3 \leq y_4 < y_2; \quad (10)$$

у ряді (10) $\Sigma \xi_1(r)$ змінюється від 5,589 до 12,099 ($\alpha = 0,05$) та від 4,579 до 9,657 ($\alpha = 0,01$) (табл. 6);

в) сумою ступенів лінійності та нелінійності $\Sigma[\xi_1(r) + \xi_2(r)]$

$$\alpha = 0,05 \quad y_6 < y_4 < y_2 \leq y_5 < y_7 \leq y_3 < y_1; \quad (11)$$

$$\alpha = 0,01 \quad y_6 < y_4 < y_2 < y_3 < y_7 < y_5 < y_1; \quad (12)$$

у рядах (11), (12) $\Sigma [\xi_1(r) + \xi_2(r)]$ змінюється від 15,077 до 19,099 ($\alpha = 0,05$) та від 15,246 до 21,566 ($\alpha = 0,01$) (табл. 6).

2.2. За функцією перетворення Фішера z . За процедурою [8] при виборі найбільш показних функцій відгуку u_i із груп u_1, \dots, u_7 давали оцінку:

$$\text{сумарної сили нелінійного впливу } \sum_{i,j=1}^{n=7} |\xi_2(z_{ij})|$$

$$\text{(табл. 7); сумарної сили лінійного впливу } \sum_{i,j=1}^{n=7} |\xi_1(z_{ij})|$$

(табл. 8); сумарної сили сумісного лінійного та

$$\text{нелінійного впливу } \sum_{i,j=1}^{n=7} [\xi_1(z_{ij}) + \xi_2(z_{ij})] \quad (\text{табл. 8})$$

кожного u_i з відповідної групи $[u]$ на решту u_j за теорією графів [23, 24]. У табл. 7, 8 $\xi_2(z_{ij}) = \xi_2(z_{ji})$, $\xi_1(z_{ij}) = \xi_1(z_{ji})$, $[\xi_1(z_{ij}) + \xi_2(z_{ij})] = [\xi_1(z_{ji}) + \xi_2(z_{ji})]$. Ці результати (табл. 7, 8) дозволили виявити мажорантні ряди за зростаючою сумарною силою зв'язку $u_i \sim u_j$ (сума елементів матриць табл. 7 і 8) та виявити «лідерів» та «автсайдерів» за:

- а) ступенями нелінійності $\xi_2(z)$

$$\alpha = 0,05; \alpha = 0,01 \quad y_2 < y_6 < y_4 < y_7 < y_3 < y_5 < y_1; \quad (13)$$

у ряді (13) $\xi_2(z)$ змінюється від 4,132 до 8,116 ($\alpha = 0,05$) та від 5,122 до 10,370 ($\alpha = 0,01$) (табл. 7);

- б) ступенями лінійності $\xi_1(z)$

$$\alpha = 0,05; \alpha = 0,01 \quad y_5 < y_1 < y_4 < y_7 \leq y_6 < y_3 < y_2; \quad (14)$$

у ряді (14) $\xi_1(z)$ змінюється від 7,951 до 15,153 ($\alpha = 0,05$) та від 6,279 до 11,753 ($\alpha = 0,01$) (табл. 8);

в) сумою ступенів лінійності та нелінійності $\Sigma[\xi_1(z) + \xi_2(z)]$

$$\alpha = 0,05 \quad y_5 < y_1 \leq y_6 < y_4 < y_7 \leq y_2 < y_3; \quad (15)$$

$$\alpha = 0,01 \quad y_5 \leq y_6 < y_4 < y_2 < y_1 < y_7 < y_3; \quad (16)$$

у рядах (15), (16) $\Sigma [\xi_1(z) + \xi_2(z)]$ змінюється від 14,648 до 20,211 ($\alpha = 0,05$) та від 14,780 до 18,881 ($\alpha = 0,01$) (табл. 8).

2.3. За критерієм Стьюдента t . За процедурою [15] при виборі найбільш показних функцій відгуку u_i із груп u_1, \dots, u_7 давали оцінку: сумарної сили

$$\text{нелінійного впливу } \sum_{i,j=1}^{n=7} |\xi_2(t_{ij})| \quad (\text{табл. 9}); \text{ сумарної}$$

$$\text{сили лінійного впливу } \sum_{i,j=1}^{n=7} |\xi_1(t_{ij})| \quad (\text{табл. 10});$$

сумарної сили сумісного лінійного та нелінійного

впливу $\sum_{i,j=1}^{n=7} [\xi_1(t_{ij}) + \xi_2(t_{ij})]$ (табл. 10) кожного y_i з

відповідної групи $[y]$ на решту y_j за теорією графів [23, 24]. У табл. 9, 10 $\xi_2(t_{ij}) = \xi_2(t_{ji})$, $\xi_1(t_{ij}) = \xi_1(t_{ji})$, $[\xi_1(t_{ij}) + \xi_2(t_{ij})] = [\xi_1(t_{ji}) + \xi_2(t_{ji})]$. Ці результати (табл. 9, 10) дозволили виявити мажорантні ряди за зростаючою сумарною силою зв'язку $y_i \sim y_j$ (сума елементів матриць табл. 9 і 10) та виявити «лідерів» та «автсайдерів» за:

а) ступенями нелінійності $\xi_2(t)$

$\alpha = 0,05; \alpha = 0,01 \quad y_2 < y_6 < y_4 < y_7 < y_3 < y_5 < y_1; (17)$
у ряді (17) $\xi_2(t)$ змінюється від 3,919 до 8,083 ($\alpha = 0,05$) та від 4,858 до 10,361 ($\alpha = 0,01$) (табл. 9);

б) ступенями лінійності $\xi_1(t)$

$\alpha = 0,05; \alpha = 0,01 \quad y_5 < y_1 < y_6 < y_4 < y_7 < y_3 < y_2; (18)$
у ряді (18) $\xi_1(t)$ змінюється від 8,075 до 17,482 ($\alpha = 0,05$) та від 6,353 до 13,470 ($\alpha = 0,01$) (табл. 10);

в) сумою ступенів лінійності та нелінійності $\Sigma[\xi_1(t) + \xi_2(t)]$

$\alpha = 0,05 \quad y_5 < y_1 < y_6 < y_4 < y_7 < y_2 < y_3; (19)$

$\alpha = 0,01 \quad y_5 < y_6 < y_4 < y_1 < y_2 \leq y_7 < y_3; (20)$

у рядах (19), (20) $\Sigma[\xi_1(t) + \xi_2(t)]$ змінюється від 14,729 до 22,754 ($\alpha = 0,05$) та від 14,826 до 20,705 ($\alpha = 0,01$) (табл. 10).

Висновки

1. Вперше введено у науковий обіг математичних методів у матеріалознавстві оцінки:

- ступеня лінійності (нелінійності) кореляційного зв'язку за розрахованим коефіцієнтом кореляції $|r|$, функцією перетворення Фішера $|z|$ та $|t|$ - критерієм Стьюдента та їх теоретичними значеннями: критичним коефіцієнтом кореляції $r_{кр.}$, добутком квантилі нормованого нормального розподілу Гаусса та середнім квадратичним відхиленням функції $z(N)$: $[z(1 - \alpha/2) \cdot \sigma_z]$, табличним значенням t_f ($\alpha, f = N - 2$);

- ступеня відповідності (невідповідності) емпіричного (вибіркового) розподілу результатів експерименту або спостереженню теоретичному розподілу за нормальним законом Гаусса за критеріями: асиметрії та ексцесу розподілу та за їх середніми квадратичними відхиленнями, омега-квадрат та хи-квадрат Пірсона.

2. Виявлено, що, розглядаючи y_1 та x_k як неперервні випадкові величини за ступенями відповідності емпіричного розподілу теоретичному нормальному розподілу Гаусса, вибірковий розподіл висот мікронерівностей над середньою площиною шорсткої поверхні (y_2), діаметрів мікронерівностей у середній площині шорсткої поверхні (y_3) та бонітету покриття (y_4) підпорядкований теоретичному нормальному розподілу Гаусса, а розподіл складу покриття (y_1) та показної площі покриття (y_5), експозиції схилу мікронерівностей (x_1), стрімкості схилу мікронерівностей (x_2), висоти мікронерівностей над підкладкою (товщина покриття) (x_3) та тип ансамблю мікронерівностей (x_4) не підпорядковані теоретичному нормальному закону Гаусса, що накладає певні обмеження на висновки

щодо оцінок результатів кореляційного аналізу. Вибірковий розподіл повноти (щільності) покриття (y_6) та віку мікронерівностей покриття (часу від початку процесу осадження) (y_7) близький до теоретичного нормального розподілу.

3. Виявлено, що, розглядаючи y_1 та x_k як дискретні випадкові величини, за показниками ступеня агрегації $\Psi = \frac{S^2}{\bar{x}}$, розподіл складу покриття

y_1 ($\psi = 16,17$ од. $\gg 1$), показної площі y_5 ($\psi = 12,42$ од. $\gg 1$), віку мікронерівностей покриття y_7 ($\psi = 12,31$ од. $\gg 1$) та висоти мікронерівностей над підкладкою (товщини покриття) x_3 ($\psi = 13,36$ од. $\gg 1$) є сильно контагіозний; розподіл діаметрів мікронерівностей в середній площині шорсткої поверхні y_3 ($\psi = 1,97$ од. > 1) та стрімкостей схилу мікронерівностей x_2 ($\psi = 1,62$ од. > 1) є слабконтрагіозний; розподіл висот мікронерівностей над середньою площиною шорсткої поверхні y_2 ($\psi = 0,99$ од. ≈ 1) є випадковим Пуассона; розподіл бонітету покриття y_4 ($\psi = 0,19$ од. $\ll 1$); повноти (щільності покриття) y_6 ($\psi = 0,02$ од. $\ll 1$); типу ансамблю мікронерівностей покриття x_4 ($\psi = 0,098$ од. $\ll 1$) є явно рівномірним, а розподіл експозиції схилу мікронерівностей покриття x_1 ($\psi = 0,85$ од. < 1) є рівномірним з низькою ознакою.

4. Результати аналізу щільності лінійного і нелінійного кореляційних зв'язків між y_i та x_k залежать від критеріїв їх оцінки:

а) максимальна лінійність зв'язків спостерігається (за першими трьома «лідерами» у порядку зменшення зв'язку):

- за абсолютним значенням коефіцієнта кореляції $|r_{x,y}|$: між висотою виступу мікронерівностей над середньою площиною шорсткої поверхні покриття (y_2) та типом ансамблю мікронерівностей покриття (x_4), потім – між бонітетом покриття (y_4) та типом ансамблю мікронерівностей покриття (x_4), за тим – між діаметром мікронерівностей в середній площині шорсткої поверхні (y_3) та висотою мікронерівностей над підкладкою (товщиною покриття) (x_3);

- за ступенем лінійності за критичним значенням коефіцієнта кореляції $\xi_1(r)$ з рівнем значущості $\alpha = 0,05$ та $\alpha = 0,01$: теж саме, як і за $|r_{x,y}|$;

- за ступенем лінійності за z-функцією перетворення Фішера $\xi_1(z)$ з рівнем значущості $\alpha = 0,05$ та $\alpha = 0,01$: між повнотою (щільністю) покриття (y_6) та висотою мікронерівностей над підкладкою (товщиною покриття) (x_3), потім – між складом покриття (y_1) та типом ансамблю мікронерівностей покриття (x_4), затим – між віком мікронерівностей (часом від початку нанесення покриття) (y_7) та висотою мікронерівностей над підкладкою (товщиною покриття) (x_3);

- за ступенем лінійності за t-критерієм Стьюдента $\xi_1(t)$ з рівнем значущості $\alpha = 0,05$ та $\alpha = 0,01$: між повнотою (щільністю) покриття (y_6) та висотою мікронерівностей над підкладкою (товщиною покриття) (x_3), потім – між складом покриття (y_1) та типом ансамблю мікронерівностей покриття (x_4), за тим – між висотою виступу

мікронерівностей над середньою площиною шорсткої поверхні покриття (y_2) та типом ансамблів мікронерівностей покриття (y_4);

б) максимальна нелінійність зв'язків спостерігається (за першими трьома «лідерами» у порядку зменшення щільності зв'язку):

- за ступенем нелінійності за критичним значенням коефіцієнта кореляції $\xi_2(r)$ з рівнем значущості $\alpha=0,05$ та $\alpha=0,01$: між висотою виступу мікронерівностей над середньою площиною шорсткої поверхні покриття (y_2) та експозицією схилу мікронерівностей покриття (x_1), потім – між бонітетом покриття (y_4) та висотою мікронерівностей над підкладкою (товщиною покриття) (x_3), за тим – між показною площею покриття (y_5) та експозицією схилу мікронерівностей покриття (x_1);

- за ступенем нелінійності за z-функцією перетворення Фішера $\xi_2(z)$ з рівнем значущості $\alpha=0,05$ та $\alpha=0,01$: між висотою виступу мікронерівностей над середньою площиною шорсткої поверхні покриття (y_2) та експозицією схилу мікронерівностей покриття (x_1), потім – між бонітетом покриття (y_4) та висотою мікронерівностей над підкладкою (товщиною покриття) (x_3), за тим – між діаметром мікронерівностей в середній площині шорсткої поверхні (y_3) та експозицією схилу мікронерівностей покриття (x_1);

- за ступенем нелінійності за t-критерієм Стьюдента $\xi_2(t)$ з рівнем значущості $\alpha=0,05$ та $\alpha=0,01$:

закономірність така, як за оцінкою $\xi_2(z)$.

5. **Складені мажорантні ряди** впливу вхідних параметрів x_k на функції відгуку y_i , за якими максимальний вплив мають:

- на склад покриття (y_1), висоту виступу мікронерівностей над середньою площиною шорсткої поверхні покриття (y_2), бонітет покриття (y_4) впливає тип ансамблю мікронерівностей (x_4); на середній площині шорсткої поверхні (y_3), повноту (щільність) покриття (y_6), вік мікронерівностей покриття (y_7), впливає висота мікронерівностей над підкладкою (товщина покриття) (x_3); на показну площу покриття (y_5) впливає стрімкість (крутизна) схилу мікронерівностей (x_2) за абсолютним значенням коефіцієнта кореляції $|r_{x,y}|$ та ступенем рівності за величиною критичного коефіцієнта кореляції $\xi_1(r)$, за z-функцією перетворення Фішера $\xi_1(z)$ та t-критерієм Стьюдента $\xi_1(t)$ за лінійним законом з рівнем значущості $\alpha=0,05$ і $\alpha=0,01$;

- на склад покриття (y_1) та повноту (щільність) покриття (y_6) впливає стрімкість (крутизна) схилу мікронерівностей (x_2); на висоту виступу мікронерівностей над середньою площиною шорсткої поверхні покриття (y_2), діаметр мікронерівностей в середній площині шорсткої поверхні (y_3), показну площу покриття (y_5) та вік мікронерівностей покриття (y_7) впливає експозиція схилу мікронерівностей (x_1); на бонітет покриття (y_4) впливає висота мікронерівностей над підкладкою

(товщина покриття) (x_3) за ступенем рівності за величиною критичного коефіцієнта кореляції $\xi_2(r)$, за z-функцією перетворення Фішера $\xi_2(z)$ та t-критерієм Стьюдента $\xi_2(t)$ за нелінійним законом з рівнем значущості $\alpha=0,05$ і $\alpha=0,01$;

- за сумарним (лінійний + нелінійний) впливом повторюється закономірність за нелінійним впливом з $\alpha=0,05$ та $\alpha=0,01$ (для y_1, y_2, y_3, y_4, y_5) та $\alpha=0,01$ (для y_6, y_7), лише для $\alpha=0,05$ на повноту (щільність) покриття (y_6) та вік мікронерівностей покриття (y_7) впливає висота мікронерівностей над підкладкою (товщина покриття) (x_3) при оцінці за $\xi_1(t) + \xi_2(t)$.

6. **Використана теорія графів** для виявлення «лідерів» та «автсайдерів» функції цілі за допомогою коефіцієнтів кореляції між y_i та y_j , процедури створення матриці цих коефіцієнтів та їх суми і визначення рангів для y_i . Вперше теорія графів та така процедура використана за участю ступенів лінійності, нелінійності та ступеня сумарного (лінійного + нелінійного) зв'язку за величиною критичного значення коефіцієнта кореляції $\xi_1(r)$ і $\xi_2(r)$, z-функцією перетворення Фішера $\xi_1(z)$ і $\xi_2(z)$ та t-критерієм Стьюдента $\xi_1(t)$ і $\xi_2(t)$. Найбільш обгрунтовані сумарні оцінки: $\xi_1(r) + \xi_2(r)$, $\xi_1(z) + \xi_2(z)$, $\xi_1(t) + \xi_2(t)$.

7. Процедура пошуку оптимуму при багатопараметричному завданні полягала у відсіюванні функцій цілі з низьким рангом (7 і менше) та

а) або накладання обмеження на решту функцій цілі у вигляді одно- або двосторонніх нерівностей і пошуку оптимуму за одним (з високим рангом (1)) параметром оптимізації;

б) або створення узагальненої функції бажаності D із всіх або частини, що залишилися після відсіювання, параметрів оптимізації:

$$D = \sqrt[n]{d_1 \cdot d_2 \cdot \dots \cdot d_i \cdot \dots \cdot d_n}, \text{ де } 0 \leq D \leq 1; d_i = \exp(-\exp y'_i) - \text{частинні функції бажаності}; 0 \leq d_i \leq 1; y'_i = b_0 + b_1 y_i; y'_i = b_0 + b_1 y_i + b_{11} y_i^2; y'_i = b_0 + b_1 / y_i; y'_i = b_0 \ln y_i \text{ і т. ін. - безрозмірні параметри оптимізації } y_i, \text{ які мають значення } \dots -3, -2, -1, 0, +1, +2, +3 \dots \text{ За } D \text{ ведуть оптимізацію.}$$

Сіренко Г.О. – доктор технічних наук, професор, завідувач кафедри теоретичної і прикладної хімії;

Кузишин О.В. – асистент кафедри теоретичної і прикладної хімії, магістр;

Сіренко О.Г. – кандидат біологічних наук, молодший науковий співробітник відділу природничої флори;

Мідак Л.Я. – кандидат хімічних наук, доцент кафедри теоретичної і прикладної хімії;

Солтис Л.М. – аспірант кафедри теоретичної і прикладної хімії.

- [1] В.И. Кириченко, Г.А. Сиренко, Л.М. Кириченко. *Способ химического меднения углеродных материалов: А.С. № 1604862 (СССР)*. - №4465219. – Заяв. 16.05.88. – Оpubл. 7.11.90.
- [2] Г.А. Сиренко, В.П. Сви́дерский, В.Д. Герасимов, В.З. Никонов. *Антифрикционные термостойкие полимеры*. Техніка, К. (1978).
- [3] Г.М. Гуняев. Сопротивление сдвигу композитов на основе вискеризованных волокон // *Механика полимеров*, (3), сс. 492-501 (1973).
- [4] М.Л. Дмитрук, О.Ю. Борковська, С.В. Мамикін, Д.О. Науменко. Оптичні і фотоелектричні властивості мікрорельєфних гетероструктур метал – напівпровідник з проміжним шаром фулериту C 60 // *Фізика і хімія твердого тіла*, 10 (1), сс. 68-73 (2009).
- [5] Г.К. Жолудів, С.Л. Хрипко. Вплив соляної кислоти на механізми утворення поруватого кремнію // *Фізика і хімія твердого тіла*, 10 (1), сс. 149-156 (2009).
- [6] О.Г. Сіренко, О.В. Кузишин. Моделі розподілу особин на пробних площах: 2. Статистичні характеристики. Дисперсійний аналіз (статистична рівність ряду генеральних дисперсій) // *Вісник Прикарп. нац. ун-ту ім. В. Стефаника. Серія Біологія*. X, сс. 95-113 (2008).
- [7] О.Г. Сіренко, О.В. Кузишин, Л.Я. Мідак. Стан популяції сосни кедрової європейської (*Pinus Sembra L.*) в Українських Карпатах: екологічна приуроченість деревостанів (загальний та кореляційний аналізи) // *Вісник Прикарп. нац. ун-ту ім. В. Стефаника. Серія Біологія*. XII, сс. 188-208 (2008).
- [8] В.Б. Тихомиров. Планирование и анализ эксперимента. Легкая индустрия, М. 264 с. (1974).
- [9] М.Н. Степнов. *Статистическая обработка результатов механических испытаний. Машиностроение*, М. 232 с. (1972).
- [10] Л.С. Зажигаев, А.А. Кишьян, Ю.И. Романиков. *Методы планирования и обработки результатов физического эксперимента*. Атомиздат, М. 232 с (1978).
- [11] А.Б. Волощенко, І.А. Джалладова. *Теорія ймовірностей та математична статистика: навч.-метод. посібник для самост. вивчення дисц.* [для студ. економ. спеціал. вищ. навч. заклад.]. Київ. Нац. економ. ун-т, К. 256 с. (2003).
- [12] О. Г. Сіренко, О.В.Кузишин. Моделі розподілу особин на пробних площах: 2. Статистичні характеристики. Дисперсійний аналіз (статистична рівність ряду генеральних дисперсій) // *Вісник Прикарп. нац. ун-ту ім. В. Стефаника. Серія Біологія*. X, сс. 95 – 113 (2008).
- [13] О.Г. Сіренко, О.В.Кузишин, Л.Я.Мідак. Моделі розподілу особин на пробних площах: 3. Статистичні характеристики. Кореляційний та регресійний аналізи // *Вісник Прикарп. нац. ун-ту ім. В. Стефаника. Серія Біологія*. XI, сс. 76-89 (2008).
- [14] О.Г. Сіренко, О.В. Кузишин, Л.Я. Мідак. Моделі розподілу особин на пробних площах: 4. Розподіл особин сосни кедрової європейської (*Pinus sembra L.*) та ялини звичайної (*Picea abies*) за нормальним законом Гаусса // *Вісник Прикарп. нац. ун-ту ім. В. Стефаника. Серія Біологія*. XI, сс. 90-98 (2008).
- [15] В.П. Сигорський. *Математический аппарат инженера*. 2 изд. Техніка, К. 768 с. (1977).
- [16] Г. Корн, Т. Корн. *Справочник математика для научных работников и инженеров*. Наука, М. 832с. (1978).
- [17] Дж.С. Бендат, А.Г. Пирсол. *Измерение и анализ случайных процессов*. Мир, М. 408 с. (1971).
- [18] Ю.П. Адлер, Е.В. Маркова, Ю.В. Грановский. *Планирование эксперимента при поиске оптимальных условий*. Наука, М. 280 с. (1976).
- [19] С.Н. Воловельская, А.И. Жилин, С.А. Кулиш, В.Б. Сивый. *Нелинейная корреляция и регрессия*. Техніка, К. 130 с. (1971).
- [20] С.Л. Ахназарова, В.В. Кафаров. *Оптимизация эксперимента в химии и химической технологии*. Высш. шк., М. 320 с. (1978).
- [21] В.В. Федоров. *Теория оптимального эксперимента (планирование регрессионных экспериментов): монография*. Наука, М. 312 с. (1971).
- [22] В.В. Налимов, Н.А. Чернова. *Статистические методы планирования экстремальных экспериментов*. Наука, М. 340 с. (1965).
- [23] Л.Ю. Березина. *Графы и их применение: Пособие для учителей*. Просвещение, М. 144 с. (1979).
- [24] Р. Уилсон. *Введение в теорию графов*. Мир, М. 208 с. (1977).
- [25] О.Г. Сіренко, О.В. Кузишин. Моделі розподілу особин на пробних площах: 1. Постановка завдання // *Вісник Прикарп. нац. ун-ту ім. В. Стефаника. Серія Біологія*. X, сс. 88-95 (2008).
- [26] Я.П. Дідух. *Популяційна екологія. Фітосоціоцентр*, К. 192 с. (1998).

Н. А. Sirenko¹, О. V. Kuzyshyn¹, О. Н. Sirenko², L.Ya. Midak¹, L.M. Soltys

Methods of Estimates of Factors which Act on the Optimization Parameters and Procedure of Screening of Optimization Parameters for Solution the Multiparameters Tasks in Material Technology

*¹Vasyl Stefanyk' PreCarpathian National University,
57, Shevchenko Str., Ivano-Frankivsk, 76000, Ukraine*

*²National botanical gardens named after M.M.Grishko Natinal Academy of Science of UKRAINE,
1, Timirjazeva Str., 01014, Kyiv, Ukraine*

The hypothetical process of plating the roughness surface of base using the complex initial composition of materials has been investigated with «black box» model. Dependence of the layer composition, projection height of microunevenness and its diameter on the average layer surface, quality index, representative area and age of microunevenness on the exposition and steepness of decline, height on the base and type of sets of microunevenness has been shown. The majorant rows optimization parameters have been determined with the graph theory that have let to reduce their quantity for solution of optimization task.